

P9-2011-117

А. В. Исаев^{1,2}, А. А. Кузнецова^{1,3}, А. В. Еремин¹,
Б. Н. Гикал¹, В. Ю. Щеголев⁴

РАСЧЕТ ВЫХОДОВ НЕЙТРОНОВ И ГАММА-КВАНТОВ
ПРИ РАБОТЕ ЦИКЛОТРОНА ДЦ-110

¹Лаборатория ядерных реакций им. Г. Н. Флерова, Объединенный институт ядерных исследований, Дубна, Россия

²Учебно-научный центр, Объединенный институт ядерных исследований, Дубна, Россия

³Международный университет природы, общества и человека «Дубна», Дубна, Россия

⁴Отдел радиационной безопасности, Объединенный институт ядерных исследований, Дубна, Россия

Исаев А. В. и др.

P9-2011-117

Расчет выходов нейтронов и гамма-квантов
при работе циклотрона ДЦ-110

В настоящее время для нужд нанотехнологий технико-внедренческой зоны г. Дубны в ЛЯР ОИЯИ разрабатывается проект циклотрона ДЦ-110. В рамках данного проекта выполнен анализ различных комбинаций «налетающий ион – ядро мишени» в широком диапазоне энергий пучка ионов с точки зрения дозиметрического контроля. В работе представлены расчеты выходов нейтронов и гамма-квантов, образующихся при работе ускорителя ионов ДЦ-110, а также сечения образования различных нуклидов.

Работа выполнена в Лаборатории ядерных реакций им. Г. Н. Флерова ОИЯИ.

Сообщение Объединенного института ядерных исследований. Дубна, 2011

Isaev A. V. et al.

P9-2011-117

Calculation of Neutron and Gamma-Quanta Yields
from the DC-110 Cyclotron

At present the DC-110 cyclotron is being designed at the FLNR for the needs of the technology-innovative zone in Dubna. Within the framework of the project different «incident ion – target nucleus» combinations were analyzed over a wide range of ion energies for the dosimetric control purposes. In this paper neutron and γ -ray yields produced by the DC-110 ion accelerator as well as various nuclide cross-sections are presented.

The investigation has been performed at the Flerov Laboratory of Nuclear Reactions, JINR.

Communication of the Joint Institute for Nuclear Research. Dubna, 2011

ВВЕДЕНИЕ

Трековые мембранные — продукт высоких технологий, играют в современном мире все большую и большую роль. В ЛЯР ОИЯИ создается проект нового циклотронного комплекса для производства трековых мембран, включающий разработку и создание специализированного компактного циклотрона тяжелых ионов и всех инженерных систем, обеспечивающих полный цикл облучения полимерной пленки толщиной до 30 мкм.

В состав ускорительного комплекса входят: циклотрон ДЦ-110 (рис. 1); ECR-источник ионов с частотой 18 ГГц [1] и система аксиальной инжекции пучка; канал транспортировки ускоренного пучка, оснащенный установкой и

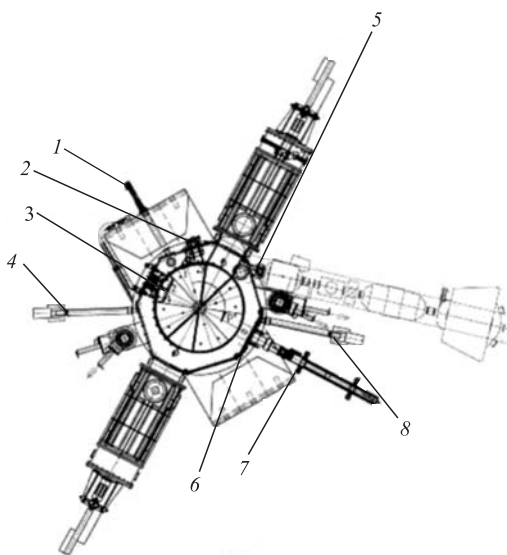


Рис. 1. Общая схема компоновки циклотрона: 1 — пробник №1; 2 — магнитный канал; 3 — электростатический дефлектор; 4 — пробник №2; 5 — профилометр и люминофор; 6 — узел подвода электрического питания и охлаждения корректирующих катушек; 7 — инфлектор; 8 — пробник №3

технологическим оборудованием для облучения полимерной пленки; вакуумная система; система электропитания и управления; система охлаждения.

Циклотронный комплекс ДЦ-110 комплектуется одним каналом для транспортировки пучков ускоренных ионов. Элементы канала должны обеспечивать равномерное облучение тяжелыми ионами поверхности движущейся пленки шириной до 600 мм. Канал циклотрона ДЦ-110 комплектуется специализированной установкой, предназначенный для однородного облучения ионами полимерной пленки, перемещающейся в зоне облучения со скоростью от 0,05 до 1,0 м/с. Ширина и толщина пленок могут варьироваться в пределах от 200 до 600 мм и от 10 до 30 мкм соответственно.

В рамках данного проекта необходимо решить вопрос о количественной оценке радиационной обстановки во время облучения и последующей активации конструкционных материалов канала пучка и мишени различными ускоряемыми ионами. В первом случае наибольшую опасность будут представлять нейтроны, испускаемые ядрами — продуктами реакций. Во втором случае, при проведении работ после облучения, необходимо иметь оценку интенсивности гамма-излучения, испускаемого достаточно долгоживущими изотопами, образованными в различных ядерных реакциях.

РЕАКЦИИ ПОЛНОГО СЛИЯНИЯ. РАСЧЕТ СЕЧЕНИЙ ОБРАЗОВАНИЯ

На первом этапе были произведены расчеты кулоновских барьеров (E_{lab}) и барьеров слияния (E_{bass}) для различных реакций полного слияния, которые могут протекать между бомбардирующими ионами, ускоряемыми циклотроном ДЦ-110, и ядрами мишени, которыми являются конструкционные материалы ионопроводов, вакуумных камер, ускорительного оборудования (диафрагмы, цилиндры Фарадея и т. д.). В качестве мишней выбирались широко используемые конструкционные материалы: $^9\text{Be}_4$, $^{12}\text{C}_6$, $^{27}\text{Al}_{13}$, $^{56}\text{Fe}_{26}$, $^{60}\text{Ni}_{28}$, $^{63}\text{Cu}_{29}$. В расчетах использовались следующие ускоренные ионы: 1p_1 , 2d_1 , $^{12}\text{C}_6$, $^{20,22}\text{Ne}_{10}$, $^{40}\text{Ar}_{18}$, $^{84}\text{Kr}_{36}$, $^{132}\text{Xe}_{54}$.

Затем были произведены расчеты сечений образования ядер, продуктов реакций полного слияния (ядер-остатков испарения), для различных комбинаций «налетающий ион – ядро мишени».

Диапазон энергий пучка: $E_{lab} = 0,3\text{--}3,5 \text{ МэВ/нуклон}$.

Результаты расчетов представлены в таблице приложения 1 и для наглядности структурированы следующим образом:

1) реакции, для которых $E_k < 1 \text{ МэВ/нуклон}$, — это наиболее легкие комбинации (мишень Be). Для этой области возможно наличие большого числа каналов протекания реакций;

2) реакции, для которых $1 < E_k < 2 \text{ МэВ/нуклон}$;

3) реакции, для которых $2 < E_k < 3,5$ МэВ/нуклон;

4) реакции, для которых $E_k > 3,5$ МэВ/нуклон. В заданном диапазоне энергий реакции на ядрах мишени будут протекать ниже кулоновского барьера, соответственно, сечения образования радиоактивных изотопов и выходы нейтронов из реакций будут существенно ниже, чем в случае, когда энергия налетающего иона выше барьера.

Расчет кулоновского барьера E_{lab} производился с использованием параметризации радиуса взаимодействия R_{int} , приведенного в [1].

Расчет барьера слияния E_{bass} производился по методике, описанной в работе [2]. В расчетах использовались таблицы масс из [3].

Для приведенных выше комбинаций «налетающий ион – ядро мишени» доминирующим каналом является процесс полного слияния. Поэтому продукты реакций полного слияния будут иметь значительно большие выходы, чем продукты реакций передач.

Были произведены расчеты сечений образования ядер-остатков испарений для всех возможных комбинаций «налетающий ион – ядро мишени» с помощью программы NRV Project [4]. В основу модуля, используемого в рас-

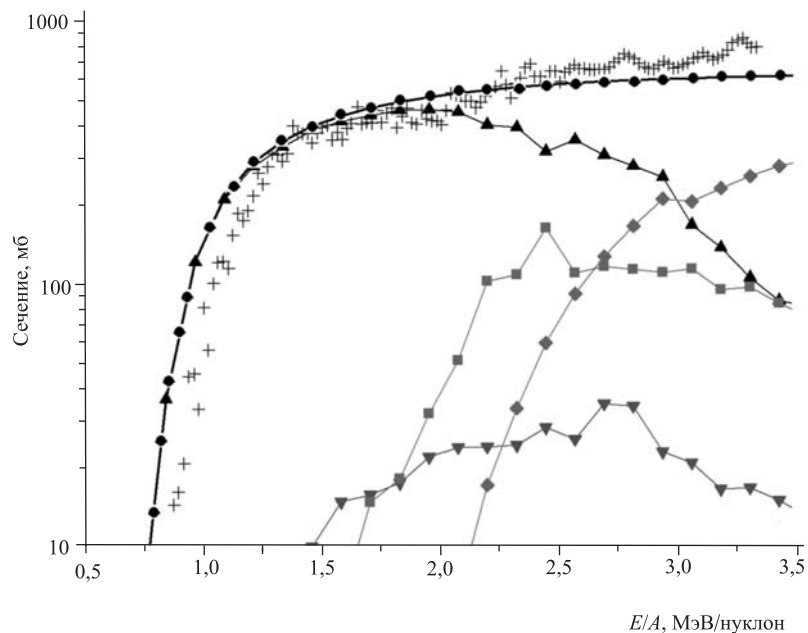


Рис. 2. Данные о реакции $^{12}\text{C} + ^{12}\text{C}$, полученные при помощи программы NRV Project. Условные обозначения: ● — полное сечение реакции; + — экспериментально полученные данные о сечении [5]; ■ — сечение 1α -канала; ▲ — сечение $1p$ -канала; ▼ — сечение $1n$ -канала; ◇ — сечение $1p1n$ -канала

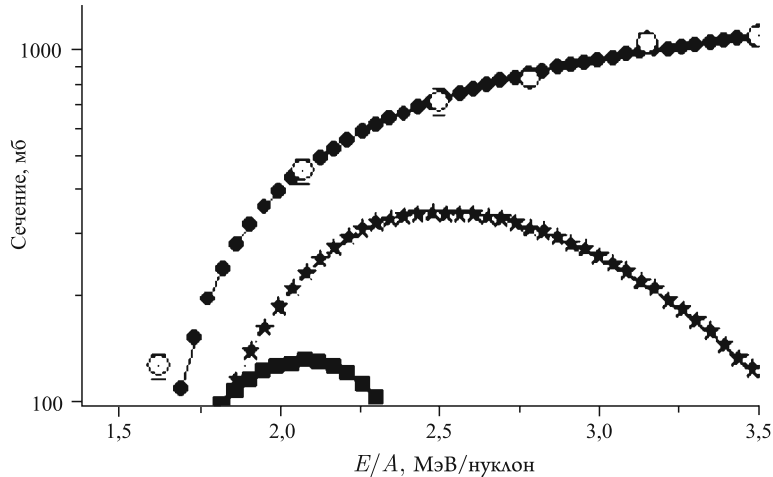


Рис. 3. Данные о реакции $^{20}\text{Ne} + ^{27}\text{Al}$, полученные при помощи программы NRV Project. Условные обозначения: ● — полное сечение реакции; ○ — экспериментально полученные данные [6]; ■ — сечение $1p1n$ -канала; ★ — сечение $2p1n$ -канала

чатах, заложена макро-микроскопическая статистическая модель. Интерфейс программы удобен для пользователя, расчет сечений образования ядер — продуктов реакций полного слияния — достаточно прост, но требует аккуратного подхода.

Данные о сечениях представлены в таблицах приложения 2. Для имеющихся экспериментальных данных наблюдается довольно неплохая корреляция с модельными расчетами сечений (см., например, рис. 2, 3).

Анализ данных, проведенный на основании расчетов для реакций с ускоренными протонами, показывает, что в реакциях $p + ^9\text{Be} \rightarrow ^{10}\text{B}^*$, $p + ^{27}\text{Al} \rightarrow ^{28}\text{Si}^*$ и $p + ^{63}\text{Cu} \rightarrow ^{64}\text{Zn}^*$ могут образовываться только стабильные изотопы, нейтронный фон во время облучения отсутствует, так как основной канал реакции $0\ p$. Также следует обратить внимание, что только для реакции $p + ^9\text{Be}$ кулоновский барьер составляет величину 1,731 МэВ, а для реакции $p + ^{12}\text{C}$ — 2,371 МэВ. Для всех остальных реакций барьер находится значительно выше указанных энергетических диапазонов. Вследствие чего эти реакции рассматриваться не будут. Для реакций $p + ^9\text{Be}$ и $p + ^{12}\text{C}$ нейтронный фон во время облучения (даже при энергиях выше барьера) будет отсутствовать, наведенной активности также не будет, потому что будут образовываться стабильные или короткоживущие изотопы.

Для наиболее тяжелых ионов Kr и Xe в диапазонах энергий 0,3–3,0 МэВ/нуклон реакции $^{84}\text{Kr} + ^{56}\text{Fe}$, $^{84}\text{Kr} + ^{60}\text{Ni}$ и $^{132}\text{Xe} + ^{27}\text{Al}$, $^{132}\text{Xe} + ^{56}\text{Fe}$,

$^{132}\text{Xe} + ^{60}\text{Ni}$, $^{132}\text{Xe} + ^{63}\text{Cu}$ протекают ниже *барьера слияния*, поэтому в дальнейшем рассмотрении они участвовать не будут.

Расчетные данные для сечений различных испарительных каналов в дальнейшем будут использоваться для расчета нейтронного фона во время облучения при взаимодействии ускоренных ионов с конструкционными материалами и в случае образования долгоживущих изотопов, испытывающих гамма-распад, для расчета наведенной гамма-активности через час после прекращения облучения.

Расчетные данные для ускоренных ионов d весьма приблизительные и сильно завышенные, потому что программа NRV Project в основном рассчитана на применение для реакций с более тяжелыми ионами. Тем не менее анализ данных для реакций с ионами дейтерия был проведен, наибольшие сечения получены для реакций $d + ^9\text{Be}$ и $d + ^{12}\text{C}$. Для остальных, более тяжелых конструкционных материалов сечения примерно на два порядка ниже. Из этого следует вывод о том, что в реакциях с ионами дейтерия лучше не использовать в качестве конструкционных материалов Be и C.

ОЦЕНКА ВЫХОДА НЕЙТРОНОВ

Были произведены расчеты выходов нейтронов из реакций полного слияния для различных комбинаций «налетающий ион – ядро мишени». В качестве мишеней выбирались широко используемые конструкционные материалы: $^9\text{Be}_4$, $^{12}\text{C}_6$, $^{27}\text{Al}_{13}$, $^{56}\text{Fe}_{26}$, $^{60}\text{Ni}_{28}$, $^{63}\text{Cu}_{29}$.

В расчетах использовались следующие ускоренные ионы: $^{12}\text{C}_6$, $^{20,22}\text{Ne}_{10}$, $^{40}\text{Ar}_{18}$, $^{84}\text{Kr}_{36}$, $^{132}\text{Xe}_{54}$. Интенсивность пучков ускоренных частиц принималась равной 1 мКА/частиц (6,24 · 10¹² частиц в секунду). Толщина мишени (количество ядер конструкционного материала, которые могут вступить в реакцию с налетающим ионом) определялась из условия потери бомбардирующими ионом 5–10 МэВ (ширина функции возбуждения) в заданном материале.

Диапазон энергий пучка: $E_{\text{lab}} = 0,3\text{--}3,5 \text{ МэВ/нуклон}$.

Для определения выхода нейтронов и гамма-квантов необходимо было, основываясь на данных о сечениях протекания различных испарительных каналов, вычислить образующееся в них же число ядер для выделенного интервала по энергии. Далее, зная число образовавшихся гамма-радиоактивных ядер и их периоды полураспада, мы легко могли рассчитать поток гамма-квантов через некоторое время после остановки облучения мишени. В свою очередь, для каналов с испарением нейтронов, зная общее число образующихся ядер и умножив его на число нейтронов, вылетающих из ядра в процессе девозбуждения, можно было получить данные о потоках нейтронов.

Число образующихся в испарительном канале ядер (в секунду) вычисляли по формуле

$$N = \frac{\sigma I N_A l \rho}{A},$$

где σ — среднее сечение протекания реакции в выделенном энергетическом диапазоне; I — интенсивность пучка ионов; N_A — число Авогадро; l — толщина мишени; A — массовое число мишени; ρ — плотность.

Поскольку толщина мишени могла варьироваться в широком диапазоне, в качестве l выбирались пробеги ионов в выделенном диапазоне энергий пучка. Для вычисления пробегов ионов в материалах мишеней в заданном диапазоне энергий использовалась программа SRIM-2011 [7]. В диапазоне энергий от 0,3 до 3,5 МэВ/нуклон для различных материалов разброс в пробегах ионов занимал промежуток от 0,3 мкм (для наиболее тяжелых) до 9 мкм (для наиболее легких ионов).

Для реакций $^{40}\text{Ar} + ^9\text{Be}$, $^{40}\text{Ar} + ^{12}\text{C}$, $^{40}\text{Ar} + ^{27}\text{Al}$ расчетные выходы нейтронов сравниваются с экспериментальными данными [8]. Видно хорошее согласие расчета с экспериментом, что позволяет сделать вывод о корректности выбора параметров, используемых в модельных расчетах. Экспериментальные результаты описывают выход нейтронов при бомбардировании толстой мишени ионами Ar с энергией 2,4 МэВ/нуклон. Выходы нейтронов составляют: $2,4 \cdot 10^{-5}$, $5,7 \cdot 10^{-6}$, $1,4 \cdot 10^{-6}$ нейтронов/ион соответственно для мишеней Be, C, Al. После пересчета с учетом интенсивности пучка в 1 мА/частиц ($6,24 \cdot 10^{12} \text{ с}^{-1}$) имеем $15 \cdot 10^7$, $3,55 \cdot 10^7$, $0,87 \cdot 10^7 \text{ с}^{-1}$ соответственно для мишеней Be, C, Al. Из наших модельных расчетов получается: $19,1 \cdot 10^7$, $7,67 \cdot 10^7$, $3,96 \cdot 10^7 \text{ с}^{-1}$ соответственно для мишеней Be, C, Al. Необходимо отметить, что расчетные значения приведены для достаточно большого диапазона энергий (суммарно): 2–2,5 МэВ/нуклон, эксперимент проводился при фиксированной энергии 2,4 МэВ/нуклон. Если отбросить вклад каналов, протекающих при других энергиях, расхождение между расчетом и экспериментом будет в пределах фактора 2–3.

Приблизительно такая же картина наблюдается и для реакций под действием налетающих ионов углерода. Экспериментальные результаты были получены в работе [9]. Для реакций $^{12}\text{C} + ^{27}\text{Al}$ и $^{12}\text{C} + ^{60}\text{Ni}$ при энергии 3,5 МэВ/нуклон активности составили соответственно $26,8 \cdot 10^7$ и $6,24 \cdot 10^7 \text{ с}^{-1}$. Расчетные значения для реакций $^{12}\text{C} + ^{27}\text{Al}$ и $^{12}\text{C} + ^{60}\text{Ni}$ в диапазоне энергий 3–3,5 МэВ/нуклон составили соответственно $9 \cdot 10^7$ и $9,04 \cdot 10^7 \text{ с}^{-1}$. Таким образом, расчет совпадает с экспериментом лучше, чем фактор 3.

Отметим, что в реакциях под действием налетающих протонов не наблюдалось нейтронные каналы распада, поэтому расчет выходов нейтронов для них не производился.

Результаты расчетов выходов нейтронов для различных реакций и диапазонов энергий пучка можно найти в соответствующих таблицах приложе-

ния 3. Так как в некоторых энергетических диапазонах несколько каналов реакций могут иметь сравнимые выходы, в таблицах указан суммарный поток, учитывающий вклады нескольких каналов.

Наибольший выход нейтронов в реакциях полного слияния с бомбардирующими ионами С предсказывается для легкой мишени: $\text{Be} (\text{^{12}C} + \text{^{9}Be} \rightarrow \text{^{21}Ne}^*)$. Для остальных ускоренных ионов расчет показывает наибольший выход нейтронов также в реакциях с конструкционным материалом бериллий. Для тяжелых ионов реакции, создающие нейтронный фон, имеют место только при энергиях выше 2,5 МэВ/нуклон для Kr и выше 3 МэВ/нуклон для Xe. Для наиболее распространенного конструкционного материала — нержавеющей стали (Fe) в реакциях полного слияния с ускоренными ионами $\text{^{12}C}$, $\text{^{20,22}Ne}$, $\text{^{40}Ar}$ (интенсивность пучка принималась равной 1 мкА/частиц, $6,24 \cdot 10^{12} \text{ s}^{-1}$) прогнозируются следующие суммарные потоки нейтронов:

$$\begin{aligned}\text{^{12}C} &— 8,61 \cdot 10^7 \text{ s}^{-1}, \\ \text{^{20}Ne} &— 3,02 \cdot 10^7 \text{ s}^{-1}, \\ \text{^{22}Ne} &— 6,95 \cdot 10^7 \text{ s}^{-1}, \\ \text{^{40}Ar} &— 3,54 \cdot 10^7 \text{ s}^{-1}.\end{aligned}$$

Более тяжелые конструкционные материалы типа Ni и Cu обнаруживают схожие результаты (в пределах фактора снижения потока нейтронов — 2). Более легкие материалы С и Al дают повышенный нейтронный фон, который можно найти в прилагаемых таблицах. Интенсивность нейтронного фона прямо пропорциональна интенсивности пучка бомбардирующих ионов.

ОЦЕНКА ГАММА-ФОНА ПОСЛЕ ОБЛУЧЕНИЯ

На этом этапе были произведены расчеты интенсивности гамма-фона от долгоживущих изотопов, образующихся в реакциях полного слияния при различных комбинациях «налетающий ион – ядро мишени» и испытывающих гамма-распад. В качестве мишеней выбирались широко используемые конструкционные материалы: $\text{^{9}Be}_4$, $\text{^{12}C}_6$, $\text{^{27}Al}_{13}$, $\text{^{56}Fe}_{26}$, $\text{^{60}Ni}_{28}$, $\text{^{63}Cu}_{29}$.

В расчетах использовались следующие ускоренные ионы: $\text{^{12}C}_6$, $\text{^{20,22}Ne}_{10}$, $\text{^{40}Ar}_{18}$, $\text{^{84}Kr}_{36}$, $\text{^{132}Xe}_{54}$. Интенсивность пучков ускоренных частиц принималась равной 1 мкА/частиц ($6,24 \cdot 10^{12} \text{ s}^{-1}$). Толщина мишени (количество ядер конструкционного материала, которые могут вступить в реакцию с налетающим ионом) определялась из условия потери бомбардирующими ионом 5–10 МэВ (ширина функции возбуждения в зависимости от типа мишени и налетающего иона) в заданном материале.

Время облучения выбиралось много большим периода полураспада, поэтому считалось, что количество изотопа находится в равновесии, т. е. за еди-

ницу времени нарабатывается такое же количество изотопа, что распадается. Это приближение дает несколько завышенные результаты для изотопов с большим периодом полураспада. Для оценки интенсивности гамма-излучения выбиралось время, равное 1 ч после завершения облучения.

Для определения выхода гамма-квантов необходимо было, основываясь на данных о сечениях протекания различных испарительных каналов, вычислить образующееся в них же число ядер для выделенного интервала по энергии. Далее с учетом числа образовавшихся гамма-радиоактивных ядер и их периодов полураспада рассчитывалась их активность через 1 ч после остановки облучения мишени.

Результаты расчетов выходов гамма-квантов для изотопов, образующихся в различных реакциях и для различных диапазонов энергий пучка, можно найти в соответствующих таблицах приложения 4.

Анализ данных, проведенный на основании расчетов, показывает, что наибольшая активация наблюдается для реакций $^{12}\text{C} + ^{12}\text{C}$, $^{12}\text{C} + ^{56}\text{Fe}$ и $^{12}\text{C} + ^{63}\text{Cu}$. В реакции $^{12}\text{C} + ^{60}\text{Ni}$ образуются только короткоживущие изотопы. Также наблюдается тенденция уменьшения наведенной активности с увеличением массы налетающего иона.

Для наиболее распространенного конструкционного материала — нержавеющей стали (Fe) для различных ионов получены максимальные значения активности:

$$\begin{aligned} ^{12}\text{C} &— 106 \text{ МБк}, \\ ^{20}\text{Ne} &— 59 \text{ МБк}, \\ ^{22}\text{Ne} &— 28,6 \text{ МБк}, \\ ^{40}\text{Ar} &— 1,9 \text{ МБк}. \end{aligned}$$

Приведенные активности указываются для следующих условий.

1. Интенсивность пучков ускоренных частиц принималась постоянной и равной 1 мКА/частиц ($6,24 \cdot 10^{12} \text{ с}^{-1}$).

2. Указанные активности рассчитаны на временной интервал 1 ч после выключения пучка. При пересчете активности для других временных интервалов (после выключения пучка) необходимо учитывать периоды полураспада конкретных изотопов, образовавшихся во время облучения.

ПРИЛОЖЕНИЕ 1

Кулоновские барьеры (E_{lab}) и барьеры слияния (E_{bass}) для различных комбинаций «налетающий ион – ядро мишени»

Реакция	E_{cm} , МэВ	E_{lab} , МэВ	E_{lab} , МэВ/нуклон	E_{bass} , МэВ	E_{bass} , МэВ/нуклон
$p + {}^9\text{Be}_4$	1,558	1,731	1,731		
$p + \text{C}$	2,188	2,371	2,371		
$p + \text{Al}$	3,9	4,044	4,044		
$p + {}^{56}\text{Fe}_{26}$	6,465	6,581	6,581		
$p + {}^{60}\text{Ni}_{28}$	6,836	6,95	6,95		
$p + {}^{63}\text{Cu}_{29}$	6,989	7,1	7,1		
$d + {}^9\text{Be}_4$	1,437	1,756	0,878	1,03	0,65
$d + \text{C}$	2,028	2,366	1,183	1,46	0,73
$d + \text{Al}$	3,662	3,933	1,966	2,69	1,345
$d + \text{Fe}$	6,134	6,353	3,177	4,72	2,36
$d + \text{Ni}$	6,493	6,709	3,354	5,03	2,515
$d + \text{Cu}$	6,642	6,853	3,426	5,41	2,705
$\text{C} + \text{Be}$	6,591	15,379	1,281	9,62	0,8
$\text{C} + \text{C}$	9,434	18,869	1,572	12,22	1,02
$\text{C} + \text{Al}$	17,695	25,56	2,13	17,73	1,48
$\text{C} + \text{Fe}$	30,611	37,171	3,097	27,50	2,29
$\text{C} + \text{Ni}$	32,493	38,992	3,249	29,05	2,42
$\text{C} + \text{Cu}$	33,198	39,423	3,285	29,64	2,47
${}^{20}\text{Ne}_{10} + \text{Be}$	10,011	31,259	1,612	21,19	1,06
${}^{20}\text{Ne}_{10} + \text{C}$	14,388	38,37	1,918	25,99	1,3
$\text{Ne} + \text{Al}$	27,299	47,521	2,376	34,15	1,7
$\text{Ne} + {}^{56}\text{Fe}_{26}$	47,704	64,741	3,237	49,27	2,46
$\text{Ne} + {}^{60}\text{Ni}_{28}$	50,684	67,578	3,378	51,75	2,59
$\text{Ne} + {}^{63}\text{Cu}_{29}$	51,99	68,495	3,424	52,60	2,63
${}^{22}\text{Ne}_{10} + \text{Be}$	9,831	33,865	1,539	22,26	1,01
$\text{Ne} + \text{C}$	14,141	40,067	1,821	27,14	1,23
$\text{Ne} + \text{Al}$	26,887	48,795	2,217	35,02	1,59
$\text{Ne} + \text{Fe}$	47,073	65,566	2,98	47,79	2,17

Окончание таблицы

Ne + Ni	50,023	68,364	3,107	52,23	2,37
Ne + Cu	51,319	69,24	3,147	53,03	2,41
Ar + Be	14,5006	78,947	1,973	59,64	1,49
Ar + C	20,9534	90,797	2,269	70,36	1,76
Ar + Al	40,145	97,495	2,437	81,48	2,04
Ar + Fe	71,5448	122,648	3,066	104,71	2,62
Ar + Ni	76,1132	126,855	3,171	108,88	2,72
Ar + Cu	78,1477	127,765	3,194	109,93	2,75
⁸⁴ Kr ₃₆ + Be	24,6931	255,162	3,037	206,4	2,46
Kr + C	35,877	287,015	3,416	237,15	2,82
Kr + Al	70,2485	288,799	3,438	247,9	2,95
Kr + Fe	126,3561	315,89	3,76	282,27	3,36
Kr + Ni	134,6156	323,077	3,846	290,04	3,45
Kr + Cu	138,3526	322,822	3,843	290,37	3,46
¹³² Xe ₅₄ + Be	33,3618	522,667	3,959	439,4	3,32
Xe + C	48,6233	583,479	4,42	499,8	3,79
Xe + Al	96,0991	565,917	4,287	501,04	3,8
Xe + Fe	174,3985	585,48	4,435	537,34	4,07
Xe + Ni	185,9578	595,064	4,508	548,49	4,16
Xe + Cu	191,2362	591,921	4,484	546,51	4,14

ПРИЛОЖЕНИЕ 2

**РАСЧЕТЫ СЕЧЕНИЙ ОБРАЗОВАНИЯ ИЗОТОПОВ В КАНАЛАХ
С ИСПАРЕНИЕМ ЛЕГКИХ ЧАСТИЦ ДЛЯ РЕАКЦИЙ ПОЛНОГО
СЛИЯНИЯ В РАЗЛИЧНЫХ КОМБИНАЦИЯХ «НАЛЕТАЮЩИЙ
ИОН – ЯДРО МИШЕНИ» (ВО ВСЕХ ТАБЛИЦАХ ПРИЛОЖЕНИЯ 2
УКАЗАНЫ ТОЛЬКО КАНАЛЫ С СЕЧЕНИЕМ ВЫШЕ 10 мб)**

Реакции под действием налетающих ионов углерода

Реакция $^{12}\text{C} + ^9\text{Be} \rightarrow ^{21}\text{Ne}^*$

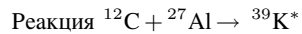
Энергия пучка ионов, МэВ/нуклон	Максимальное сечение, мб	Канал реакции	Образующиеся изотопы	Характеристики распада
0,3–2	—	—	—	—
2–2,5	125	$1p1n$	F-19	Стабильный
	75	$1\alpha 1n$	O-16	Стабильный
	40	$1n$	Ne-20	Стабильный
	25	$1p$	F-20	β^- , γ (11 с)
2,5–3	200	$1p1n$	F-19	Стабильный
	175	$1\alpha 1n$	O-16	Стабильный
	45	$1n$	Ne-20	Стабильный
	30	$1p$	F-20	β^- , γ (11 с)
	20	1α	O-17	Стабильный
3–3,5	225	$1p1n$	F-19	Стабильный
	150	$1\alpha 1n$	O-16	Стабильный
	35	$1n$	Ne-20	Стабильный
	25	$1p$	F-20	β^- , γ (11 с)
	25	1α	O-17	Стабильный
	35	$1p2n$	F-18	β^+ (109,7 мин)
	15	$2n$	Ne-19	β^+ , γ (17,22 с)

Реакция $^{12}\text{C} + ^{12}\text{C} \rightarrow ^{24}\text{Mg}^*$

Энергия пучка ионов, МэВ/нуклон	Максимальное сечение, мб	Канал реакции	Образующиеся изотопы	Характеристики распада
0,3–1	125	$1p$	Na-23	Стабильный
1–1,5	380	$1p$	Na-23	Стабильный
1,5–2	465	$1p$	Na-23	Стабильный
	20	$1n$	Mg-23	β^+ , γ (11,3 с)
2–2,5	35	1α	Ne-20	Стабильный
	425	$1p$	Na-23	Стабильный
	25	$1n$	Mg-23	β^+ , γ (11,3 с)
	165	1α	Ne-20	Стабильный
	65	$1p1n$	Na-22	β^+ , γ (2,603 лет)

Окончание таблицы

2,5–3	355	1p	Na-23	Стабильный
	35	1n	Mg-23	β^+ , γ (11,3 с)
	110	1 α	Ne-20	Стабильный
	205	1p1n	Na-22	β^+ , γ (2,603 лет)
3–3,5	185	1p	Na-23	Стабильный
	20	1n	Mg-23	β^+ , γ (11,3 с)
	115	1 α	Ne-20	Стабильный
	280	1p1n	Na-22	β^+ , γ (2,603 лет)



Энергия пучка ионов, МэВ/нуклон	Максимальное сечение, мб	Канал реакции	Образующиеся изотопы	Характеристики распада
0,3–1	—	—	—	—
1–1,5	50	1 α 1n	Cl-34	β^+ (1,53 с)
	60	1p1n	Ar-37	ϵ (35 сут)
	90	1 α	Cl-35	Стабильный
1,5–2	225	1 α 1n	Cl-34	β^+ (1,53 с)
	160	1p1n	Ar-37	ϵ (35 сут)
	140	1 α	Cl-35	Стабильный
	45	1 α 1p	S-34	Стабильный
	30	2p	Cl-37	Стабильный
2–2,5	325	1 α 1n	Cl-34	β^+ (1,53 с)
	100	1p1n	Ar-37	ϵ (35 сут)
	70	1 α	Cl-35	Стабильный
	70	1 α 1p	S-34	Стабильный
	40	2p1n	Cl-36	β^+ ($3 \cdot 10^5$ лет)
	35	2p	Cl-37	Стабильный
	10	2 α	P-31	Стабильный
2,5–3	400	1 α 1n	Cl-34	β^+ (1,53 с)
	50	1 α 1p1n	S-33	Стабильный
	60	1p1n	Ar-37	ϵ (35 сут)
	30	1 α	Cl-35	Стабильный
	60	1 α 1p	S-34	Стабильный
	60	2p1n	Cl-36	β^+ ($3 \cdot 10^5$ лет)
	15	2p	Cl-37	Стабильный
	25	2 α	P-31	Стабильный
3 – 3,5	200	1 α 1n	Cl-34	β^+ (1,53 с)
	200	1 α 1p1n	S-33	Стабильный
	20	1p1n	Ar-37	ϵ (35 сут)
	15	1 α	Cl-35	Стабильный
	50	1 α 1p	S-34	Стабильный
	70	2p1n	Cl-36	β^+ ($3 \cdot 10^5$ лет)
	30	2 α	P-31	Стабильный

Реакция $^{12}\text{C} + ^{56}\text{Fe} \rightarrow ^{68}\text{Ge}^*$

Энергия пучка ионов, МэВ/нуклон	Максимальное сечение, мб	Канал реакции	Образующиеся изотопы	Характеристики распада
0,3–2	—	—	—	—
2–2,5	225	$1p1n$	Ga-66	β^+ , γ (9,4 ч)
	55	$2p$	Zn-66	Стабильный
	15	$1p$	Ga-67	ϵ (78,3 ч)
2,5–3	400	$1p1n$	Ga-66	β^+ , γ (9,4 ч)
	120	$2p$	Zn-66	Стабильный
	10	$2p1n$	Zn-65	ϵ , β^+ , γ (244,3 сут)
	10	$1p$	Ga-67	ϵ (78,3 ч)
	25	$2n$	Ge-66	ϵ , β^+ , γ (2,3 ч)
	35	$1\alpha 1p$	Cu-63	Стабильный
	20	$1\alpha 1n$	Zn-63	β^+ , γ (38,1 мин)
3–3,5	325	$1p1n$	Ga-66	β^+ , γ (9,4 ч)
	135	$2p$	Zn-66	Стабильный
	140	$2p1n$	—	—
	90	$1p2n$	Ga-65	β^+ , γ (15 мин)
	20	$2n$	Ge-66	ϵ , β^+ , γ (2,3 ч)
	80	$1\alpha 1p$	Cu-63	Стабильный
	35	$1\alpha 1n$	Zn-63	β^+ , γ (38,1 мин)

Реакция $^{12}\text{C} + ^{60}\text{Ni} \rightarrow ^{72}\text{Se}^*$

Энергия пучка ионов, МэВ/нуклон	Максимальное сечение, мб	Канал реакции	Образующиеся изотопы	Характеристики распада
0,3–2	—	—	—	—
2–2,5	150	$1p1n$	As-70	β^+ , γ (53 мин)
	20	$2n$	Se-70	β^+ , γ (41,1 мин)
	20	$2p$	Ge-70	Стабильный
2,5–3	400	$1p1n$	As-70	β^+ , γ (53 мин)
	50	$2n$	Se-70	β^+ , γ (41,1 мин)
	60	$2p$	Ge-70	Стабильный
	20	$1\alpha 1n$	Ge-67	β^+ , γ (18,7 мин)
	20	$1\alpha 1p$	Ga-67	ϵ (78,3 ч)
3–3,5	350	$1p1n$	As-70	β^+ , γ (53 мин)
	160	$2p1n$	Ge-68	ϵ (270,82 сут)
	90	$1p2n$	As-69	β^+ , γ (15,1 мин)
	45	$2n$	Se-70	β^+ , γ (41,1 мин)
	70	$2p$	Ge-70	Стабильный
	30	$1\alpha 1n$	Ge-67	β^+ , γ (18,7 мин)
	40	$1\alpha 1p$	Ga-67	ϵ (78,3 ч)

Анализ реакции $^{12}\text{C} + ^{63}\text{Cu} \rightarrow ^{75}\text{Br}^*$

Энергия пучка ионов, МэВ/нуклон	Максимальное сечение, мб	Канал реакции	Образующиеся изотопы	Характеристики распада
0,3–2	—	—	—	—
2–2,5	125	$1p1n$	Se-73	β^+ , γ (7,1 ч)
	30	$2p$	As-73	ϵ (80,3 сут)
2,5–3	450	$1p1n$	Se-73	β^+ , γ (7,1 ч)
	60	$2p$	As-73	ϵ (80,3 сут)
	20	$2n$	Br-73	β^+ , γ (3,3 мин)
	15	$1\alpha1p$	Ge-70	Стабильный
	510	$1p1n$	Se-73	β^+ , γ (7,1 ч)
3–3,5	35	$2p$	As-73	ϵ (80,3 сут)
	120	$2p1n$	As-72	β^+ , γ (26 ч)
	95	$1p2n$	Se-72	ϵ (8,5 сут)
	25	$2n$	Br-73	β^+ , γ (3,3 мин)
	25	$1\alpha1p$	Ge-70	Стабильный
	20	$1\alpha1n$	As-70	β^+ , γ (53 мин)

Реакции под действием налетающих ионов неона

Реакция $^{20}\text{Ne} + ^9\text{Be} \rightarrow ^{29}\text{Si}^*$

Энергия пучка ионов, МэВ/нуклон	Максимальное сечение, мб	Канал реакции	Образующиеся изотопы	Характеристики распада
0,3–1	60	$1p1n$	Al-27	Стабильный
	10	$2n$	Si-27	β^+ (4,16 с)
	15	$1p$	Al-28	β^- (2,24 мин)
	20	$1n$	Al-28	Стабильный
	25	$1\alpha1n$	Mg-26	Стабильный
	440	$1p1n$	Al-27	Стабильный
1–1,5	10	$1n$	Al-28	Стабильный
	15	$2n$	Si-27	β^+ (4,16 с)
	15	$1p$	Al-28	β^- (2,24 мин)
	15	$1\alpha1p$	Na-26	β^- , γ (1,08 с)
	50	$1p2n$	Al-26	β^+ , γ (6,35 с)
	65	$1\alpha1n$	Mg-26	Стабильный
	585	$1p1n$	Al-27	Стабильный
1,5 - 2	10	$2n$	Si-27	β^+ (4,16 с)
	40	$1\alpha1p$	Na-26	β^- , γ (1,08 с)
	160	$1\alpha1n$	Mg-26	Стабильный
	190	$1p2n$	Al-26	β^+ , γ (6,35 с)
	450	$1p1n$	Mg-26	Стабильный
2–2,5	10	$2n$	Si-27	β^+ (4,16 с)
	40	$1\alpha1p$	Na-26	β^- , γ (1,08 с)
	160	$1\alpha1n$	Mg-26	Стабильный
	190	$1p2n$	Al-26	β^+ , γ (6,35 с)
	450	$1p1n$	Mg-26	Стабильный

Окончание таблицы

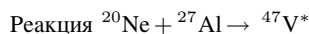
2,5–3	15	1α	Mg-27	β^- , γ (9,46 мин)
	15	$1\alpha 1p1n$	Na-25	β^- , γ (59,10 с)
	20	$2p1n$	Mg-26	Стабильный
	75	$1\alpha 1p$	Na-26	β^- , γ (1,08 с)
	225	$1\alpha 1n$	Mg-26	Стабильный
	260	$1p1n$	Al-27	Стабильный
	305	$1p2n$	Al-26	β^+ , γ (6,35 с)
3–3,5	15	1α	Mg-27	β^- , γ (9,46 мин)
	30	$2p1n$	Mg-26	Стабильный
	60	$1\alpha 1p1n$	Na-25	β^- , γ (59,10 с)
	75	$1\alpha 1p$	Na-26	β^- , γ (1,08 с)
	150	$1p1n$	Al-27	Стабильный
	190	$1\alpha 1n$	Mg-26	Стабильный
	330	$1p2n$	Al-26	β^+ , γ (6,35 с)

Реакция $^{20}\text{Ne} + ^{12}\text{C} \rightarrow ^{32}\text{S}^*$

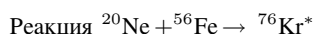
Энергия пучка ионов, МэВ/нуклон	Максимальное сечение, мб	Канал реакции	Образующиеся изотопы	Характеристики распада
0,3–1	—	—	—	—
1–1,5	215	$1p1n$	P-30	β^+ , γ (2,5 мин)
	115	1α	Si-28	Стабильный
	40	$1p$	P-31	Стабильный
	30	$2p$	Si-30	Стабильный
1,5–2	375	$1p1n$	P-30	β^+ , γ (2,5 мин)
	140	1α	Si-28	Стабильный
	50	$1p$	P-31	Стабильный
	60	$2p$	Si-30	Стабильный
	95	$1\alpha 1p$	Al-27	Стабильный
2–2,5	410	$1p1n$	P-30	β^+ , γ (2,5 мин)
	160	1α	Si-28	Стабильный
	30	$1p$	P-31	Стабильный
	70	$2p$	Si-30	Стабильный
	195	$1\alpha 1p$	Al-27	Стабильный
	55	$2p1n$	Si-29	Стабильный
2,5–3	300	$1p1n$	P-30	β^+ , γ (2,5 мин)
	175	1α	Si-28	Стабильный
	20	$1p$	P-31	Стабильный
	60	$2p$	Si-30	Стабильный
	230	$1\alpha 1p$	Al-27	Стабильный
	150	$2p1n$	Si-29	Стабильный
	30	2α	Mg-24	Стабильный

Окончание таблицы

3–3,5	165	$1p1n$	P-30	β^+ , γ (2,5 мин)
	135	1α	Si-28	Стабильный
	40	$2p$	Si-30	Стабильный
	215	$1\alpha 1p$	Al-27	Стабильный
	220	$2p1n$	Si-29	Стабильный
	70	2α	Mg-24	Стабильный
	30	$1\alpha 1p1n$	Al-28	β^- , γ (2,246 мин)



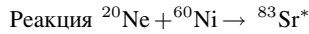
Энергия пучка ионов, МэВ/нуклон	Максимальное сечение, мб	Канал реакции	Образующиеся изотопы	Характеристики распада
0,3–1,5	—	—	—	—
1,5–2	50	$2p$	Sr-45	Стабильный
	125	$1p1n$	Ti-45	β^+ , γ (3,08 ч)
	185	$2p1n$	Sr-44	β^+ , γ (3,97 ч)
2–2,5	10	$1\alpha 1p$	K-43	β^- , γ (22,30 ч)
	20	$1\alpha 1p1n$	Ca-43	Стабильный
	25	$2p$	Sr-45	Стабильный
	35	$1p2n$	Ti-44	γ (60 лет)
	55	$1p1n$	Ti-45	β^+ , γ (3,08 ч)
2,5–3	15	$3p$	Ca-44	Стабильный
	15	$1p1n$	Ti-45	β^+ , γ (3,08 ч)
	25	$2p2n$	Sc-43	β^+ , γ (3,89 ч)
	30	$1\alpha 1p1n$	Ca-43	Стабильный
	35	$3p1n$	Ca-43	Стабильный
	40	$1p2n$	Ti-44	γ (60 лет)
	255	$2p1n$	Sr-44	β^+ , γ (3,97 ч)
3–3,5	20	$1\alpha 2p1n$	K-42	β^- , γ (12,36 ч)
	20	$1\alpha 1p1n$	Ca-43	Стабильный
	25	$1p2n$	Ti-44	γ (60 лет)
	80	$2p2n$	Sc-43	β^+ , γ (3,89 ч)
	95	$3p1n$	Ca-43	Стабильный
	115	$2p1n$	Sr-44	β^+ , γ (3,97 ч)



Энергия пучка ионов, МэВ/нуклон	Максимальное сечение, мб	Канал реакции	Образующиеся изотопы	Характеристики распада
0,3–2	—	—	—	—
2–2,5	35	$2p$	Se-74	Стабильный
	40	$2p1n$	Se-73	β^+ , γ (7,15 ч)
	60	$1p1n$	Br-74	β^+ , γ (25,4 мин)

Окончание таблицы

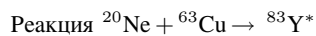
2,5–3	10	$1\alpha 2p$	Ge-72	Стабильный
	15	$1\alpha 1p1n$	As-72	β^+, γ (1,08 сут)
	20	$3p$	As-73	γ (80,3 сут)
	20	$2p$	Se-74	Стабильный
	25	$1p2n$	Br-72	β^+, γ (3,4 мин)
	120	$1p1n$	Br-74	β^+, γ (25,4 мин)
	310	$2p1n$	Se-73	β^+, γ (7,15 ч)
3–3,5	10	$3p$	As-73	γ (80,3 сут)
	15	$2n$	Kr-74	β^+, γ (11,5 мин)
	20	$1\alpha 2p1n$	Ge-71	γ (11,43 сут)
	20	$1\alpha 2p$	Ge-72	Стабильный
	30	$1\alpha 1p1n$	As-72	β^+, γ (1,08 сут)
	35	$1p2n$	Br-72	β^+, γ (3,4 мин)
	40	$3p1n$	As-72	β^+, γ (11,43 сут)
	50	$2p2n$	Se-72	γ (8,4 сут)
	100	$1p1n$	Br-74	β^+, γ (25,4 мин)



Энергия пучка ионов, МэВ/нуклон	Максимальное сечение, мб	Канал реакции	Образующиеся изотопы	Характеристики распада
0,3–2	—	—	—	—
2–2,5	15	$1\alpha 1p$	Br-77	β^+, γ (2,38 сут)
	20	$3p$	Br-77	β^+, γ (2,38 сут)
	60	$2p$	Kr-78	β^+ ($1 \cdot 10^{17}$ лет)
	85	$1p1n$	Rb-78	β^+, γ (17,66 мин)
	105	$2p1n$	Kr-77	β^+, γ (1,24 ч)
2,5–3	15	$1\alpha 1p$	Br-77	β^+, γ (2,38 сут)
	15	$1\alpha 2p$	Se-76	Стабильный
	15	$3p1n$	Br-76	β^+, γ (16,20 ч)
	20	$2p$	Kr-78	β^+ ($1 \cdot 10^{17}$ лет)
	30	$1\alpha 1p1n$	Br-76	β^+, γ (16,20 ч)
	40	$1\alpha 1n$	Kr-77	β^+, γ (1,24 ч)
	50	$3p$	Br-77	β^+, γ (2,38 сут)
	70	$1p2n$	Rb-77	β^+, γ (3,77 мин)
	160	$1p1n$	Rb-78	β^+, γ (17,66 мин)
	255	$2p1n$	Kr-77	β^+, γ (1,24 ч)
3–3,5	15	$1\alpha 2p$	Se-76	Стабильный
	15	$1\alpha 2p1n$	Se-75	γ (119,78 сут)
	20	$3p$	Br-77	β^+, γ (2,38 сут)
	30	$1\alpha 1n$	Kr-77	β^+, γ (1,24 ч)

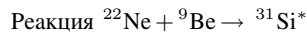
Окончание таблицы

	55	1p1n	Rb-78	β^+ , γ (17,66 мин)
	95	3p1n	Br-76	β^+ , γ (16,20 ч)
	115	2p2n	Kr-76	γ (14,8 ч)
	130	1 α 1p1n	Br-76	β^+ , γ (16,20 ч)
	155	1p2n	Rb-77	β^+ , γ (3,77 мин)
	155	2p1n	Kr-77	β^+ , γ (1,24 ч)
	180	1n	Sr-79	β^+ , γ (2,25 мин)



Энергия пучка ионов, МэВ/нуклон	Максимальное сечение, мб	Канал реакции	Образующиеся изотопы	Характеристики распада
0,3–2	—	—	—	—
2–2,5	20	1p1n	Sr-81	β^+ , γ (22,3 мин)
	30	2p1n	Rb-80	β^+ , γ (33,4 с)
2,5–3	15	2n	Y-81	β^+ , γ (1,17 мин)
	15	1 α 1n	Rb-80	β^+ , γ (33,4 с)
	20	1 α 1p	Kr-80	Стабильный
	20	3p	Kr-80	Стабильный
	30	1 α 1p1n	Kr-79	β^+ , γ (1,46 сут)
	35	1p1n	Sr-81	β^+ , γ (22,3 мин)
	40	3n	Y-80	β^+ , γ (30,1 с)
	50	1p2n	Sr-80	β^+ , γ (1,77 ч)
	210	2p1n	Rb-80	β^+ , γ (33,4 с)
	10	1 α 2n	Rb-78	β^+ , γ (22,9 мин)
3–3,5	10	1 α 1n	Rb-80	β^+ , γ (33,4 с)
	15	2n	Y-81	β^+ , γ (1,17 мин)
	15	2p	Rb-81	β^+ , γ (4,58 ч)
	20	1 α 2p	Kr-80	Стабильный
	20	1p1n	Sr-81	β^+ , γ (22,3 мин)
	30	1 α 1n	Rb-80	β^+ , γ (33,4 с)
	40	3p1n	Kr-79	β^+ , γ (1,46 сут)
	50	2p2n	Rb-78	β^+ , γ (22,9 мин)
	60	3p	Kr-80	Стабильный
	65	1 α 1p1n	Kr-79	β^+ , γ (1,46 сут)
	75	1p2n	Sr-80	β^+ , γ (1,77 ч)
	85	3n	Y-80	β^+ , γ (30,1 с)
	220	2p1n	Rb-80	β^+ , γ (33,4 с)

Реакции под действием налетающих ионов неона-22



Энергия пучка ионов, МэВ/нуклон	Максимальное сечение, мб	Канал реакции	Образующиеся изотопы	Характеристики распада
0,3–1	50	$1p1n$	Al-29	β^- , γ (6,56 мин)
	55	$2n$	Si-29	Стабильный
1–1,5	10	$1\alpha1n$	Mg-28	β^- , γ (20,91 ч)
	15	$1p$	Al-30	β^- , γ (3,6 с)
	75	$3n$	Si-28	Стабильный
	95	$1p2n$	Al-28	β^- , γ (2,76 мин)
	200	$1p1n$	Al-29	β^- , γ (6,56 мин)
	210	$2n$	Si-29	Стабильный
1,5–2	10	$1p$	Al-30	β^- , γ (3,6 с)
	20	$1\alpha1n$	Mg-28	β^- , γ (20,91 ч)
	170	$1p1n$	Al-29	β^- , γ (6,56 мин)
	175	$3n$	Si-28	Стабильный
	255	$2n$	Si-29	Стабильный
	260	$1p2n$	Al-28	β^- , γ (2,76 мин)
2–2,5	10	$1\alpha1p$	Mg-29	β^- , γ (1,3 с)
	35	$1\alpha1n$	Mg-28	β^- , γ (20,91 ч)
	120	$1p1n$	Al-29	β^- , γ (6,56 мин)
	190	$1p1n$	Al-29	β^- , γ (6,56 мин)
	270	$2n$	Si-29	Стабильный
	385	$3n$	Si-28	Стабильный
2,5–3	20	$1\alpha1p$	Mg-29	β^- , γ (1,3 с)
	25	$1\alpha2n$	Mg-27	β^- , γ (9,46 мин)
	40	$1\alpha1n$	Mg-28	β^- , γ (20,91 ч)
	80	$1p1n$	Al-29	β^- , γ (6,56 мин)
	155	$2n$	Si-29	Стабильный
	190	$3n$	Si-28	Стабильный
	426	$1p2n$	Al-28	β^- , γ (2,76 мин)
3–3,5	20	$1\alpha1p1n$	Na-27	γ (301 мкс)
	25	$1\alpha1p$	Mg-29	β^- , γ (1,3 с)
	35	$1\alpha1n$	Mg-28	β^- , γ (20,91 ч)
	40	$1\alpha2n$	Mg-27	β^- , γ (9,46 мин)
	40	$1p1n$	Al-29	β^- , γ (6,56 мин)
	55	$1p3n$	Al-27	Стабильный
	75	$2n$	Si-29	Стабильный
	230	$3n$	Si-28	Стабильный
	400	$1p2n$	Al-28	β^- , γ (2,76 мин)

Реакция $^{22}\text{Ne} + ^{12}\text{C} \rightarrow ^{34}\text{S}^*$

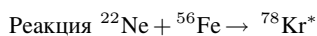
Энергия пучка ионов, МэВ/нуклон	Максимальное сечение, мб	Канал реакции	Образующиеся изотопы	Характеристики распада
0,3–1	—	—	—	—
1–1,5	15	1p1n	P-32	β^- (14,26 сут)
	45	1p2n	P-31	Стабильный
	50	1 α 1n	Si-31	β^- , γ (2,62 ч)
	230	1 α	Si-32	β^- (172 г)
1,5–2	15	1p1n	P-32	β^- (14,26 сут)
	60	1 α 2n	Si-30	Стабильный
	80	1 α 1n	Si-31	β^- , γ (2,62 ч)
	150	1p2n	P-31	Стабильный
	455	1 α	Si-32	β^- (172 г)
2–2,5	10	1p1n	P-32	β^- (14,26 сут)
	25	1p	P-33	β^- (25,34 сут)
	60	2n	S-32	Стабильный
	205	1 α 2n	Si-30	Стабильный
	280	1p2n	P-31	Стабильный
	360	1 α	Si-32	β^- (172 г)
2,5–3	15	1 α 1p1n	Al-30	β^- , γ (3,6 с)
	25	1p	P-33	β^- (25,34 сут)
	30	1 α 1n	Si-31	β^- , γ (2,62 ч)
	45	2p1n	Si-31	β^- , γ (2,62 ч)
	165	1 α	Si-32	β^- (172 г)
	280	1p2n	P-31	Стабильный
	325	1 α 2n	Si-30	Стабильный
3–3,5	10	1p	P-33	β^- (25,34 сут)
	15	1 α 1n	Si-31	β^- , γ (2,62 ч)
	25	1 α 1p1n	Al-30	β^- , γ (3,6 с)
	30	1p3n	P-30	β^- , γ (2,5 мин)
	70	1 α	Si-32	β^- (172 г)
	100	2p1n	Si-31	β^- , γ (2,62 ч)
	180	1p2n	P-31	Стабильный
	330	1 α 2n	Si-30	Стабильный

Реакция $^{22}\text{Ne} + ^{27}\text{Al} \rightarrow ^{49}\text{V}^*$

Энергия пучка ионов, МэВ/нуклон	Максимальное сечение, мб	Канал реакции	Образующиеся изотопы	Характеристики распада
0,3–1	—	—	—	—
1–1,5	10	2n	V-47	β^+ , γ (32,6 мин)
	10	1n	V-48	β^+ , γ (15,97 сут)
	20	2p	Sc-47	β^- , γ (3,35 сут)

Окончание таблицы

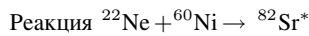
1,5–2	30	$2p1n$	Sc-46	β^- , γ (83,79 сут)
	50	$1p$	Ti-48	Стабильный
	55	$1\alpha 1n$	Sc-46	β^- , γ (83,79 сут)
	75	$2n$	V-47	β^+ , γ (32,6 мин)
	315	$2p$	Sc-47	β^- , γ (3,35 сут)
2–2,5	10	$1p3n$	Ti-45	β^+ , γ (3,08 ч)
	15	$1n$	V-48	β^+ , γ (15,97 сут)
	20	$1p$	Ti-48	Стабильный
	25	$2p2n$	Sc-45	γ ($6,34 \cdot 10^9$ лет)
	30	$2n$	V-47	β^+ , γ (32,6 мин)
	30	$2\alpha 2n$	K-43	β^- , γ (22,3 ч)
	45	$2p1n$	Sc-46	β^- , γ (83,79 сут)
	65	$1\alpha 1n$	Sc-46	β^- , γ (83,79 сут)
	335	$2p$	Sc-47	β^- , γ (3,35 сут)
2,5–3	10	$1n$	V-48	β^+ , γ (15,97 сут)
	30	$2p1n$	Sc-46	β^- , γ (83,79 сут)
	35	$1\alpha 1n$	Sc-46	β^- , γ (83,79 сут)
	90	$2p2n$	Sc-45	γ ($6,34 \cdot 10^9$ лет)
	110	$2\alpha 2n$	K-43	β^- , γ (22,3 ч)
	165	$2p$	Sc-47	β^- , γ (3,35 сут)
3–3,5	10	$2p1n$	Sc-46	β^- , γ (83,79 сут)
	15	$1\alpha 1n$	Sc-46	β^- , γ (83,79 сут)
	20	$1\alpha 2n$	Sc-45	γ ($6,34 \cdot 10^9$ лет)
	35	$1\alpha 1p1n$	Ca-45	β^- , γ (162,61 сут)
	60	$2p$	Sc-47	β^- , γ (3,35 сут)
	120	$2p2n$	Sc-45	γ ($6,34 \cdot 10^9$ лет)
	130	$2\alpha 2n$	K-43	β^- , γ (22,3 ч)



Энергия пучка ионов, МэВ/нуклон	Максимальное сечение, мб	Канал реакции	Образующиеся изотопы	Характеристики распада
0,3–2	—	—	—	—
2–2,5	10	$2p$	Se-76	Стабильный
	15	$3n$	Kr-75	β^+ , γ (4,29 мин)
	15	$1\alpha 1n$	Se-75	γ (119,78 сут)
	30	$2n$	Kr-76	γ (14,8 ч)
	50	$1p1n$	Br-76	β^+ , γ (16,2 ч)
	90	$2p1n$	Se-75	γ (119,78 сут)
	135	$1p2n$	Br-75	β^+ , γ (1,61 ч)
2,5–3	10	$2\alpha 1n$	Ge-73	Стабильный
	20	$1\alpha 2n$	Se-74	Стабильный
	20	$1p3n$	Br-74	β^+ , γ (25,4 мин)

Окончание таблицы

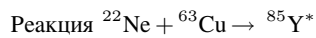
	25	$1\alpha 1p2n$	As-73	γ (80,3 сут)
	35	$1p1n$	Br-76	β^+ , γ (16,2 ч)
	50	$1\alpha 1n$	Se-75	γ (119,78 сут)
	60	$2n$	Kr-76	γ (14,8 ч)
	70	$2p2n$	Se-74	Стабильный
	90	$3n$	Kr-75	β^+ , γ (4,29 мин)
	155	$2p1n$	Se-75	γ (119,78 сут)
	160	$1p2n$	Br-75	β^+ , γ (1,61 ч)
3-3,5	10	$1\alpha 1n$	Se-75	γ (119,78 сут)
	15	$3p1n$	As-74	β^+ , β^- , γ (17,77 сут)
	30	$1\alpha 2n$	Se-74	Стабильный
	30	$1\alpha 1p2n$	As-73	γ (80,3 сут)
	55	$1p2n$	Br-75	β^+ , γ (1,61 ч)
	70	$2p1n$	Se-75	γ (119,78 сут)
	80	$3n$	Kr-75	β^+ , γ (4,29 мин)
	125	$1p3n$	Br-74	β^+ , γ (25,4 мин)
	150	$2p2n$	Se-74	Стабильный



Энергия пучка ионов, МэВ/нуклон	Максимальное сечение, мб	Канал реакции	Образующиеся изотопы	Характеристики распада
0,3-2	—	—	—	—
2-2,5	15	$1\alpha 1n$	Kr-79	β^+ , γ (1,46 сут)
	55	$1p1n$	Rb-80	β^+ , γ (33,4 с)
	70	$1p2n$	Rb-79	β^+ , γ (22,9 мин)
	75	$2p1n$	Kr-79	β^+ , γ (1,46 сут)
2,5-3	15	$1\alpha 1p$	Br-79	Стабильный
	20	$2n$	Sr-80	β^+ , γ (1,77 ч)
	20	$3n$	Sr-79	β^+ , γ (2,25 мин)
	20	$2p$	Kr-80	Стабильный
	25	$1\alpha 2n$	Kr-78	$2\beta^+$ ($1 \cdot 10^{17}$ лет)
	45	$1\alpha 1p1n$	Br-78	β^+ , γ (16,2 ч)
	65	$1p1n$	Rb-80	β^+ , γ (33,4 с)
	150	$1p2n$	Rb-79	β^+ , γ (22,9 мин)
	200	$2p1n$	Kr-79	β^+ , γ (1,46 сут)
3-3,5	10	$1\alpha 2p$	Se-78	Стабильный
	10	$1p1n$	Rb-80	β^+ , γ (33,4 с)
	15	$1\alpha 2p1n$	Se-77	Стабильный
	15	$3p1n$	Br-78	β^+ , β^- , γ (6,46 мин)
	20	$1\alpha 3p$	As-77	β^- , γ (1,62 сут)

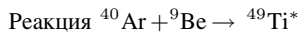
Окончание таблицы

	20	$3p$	Br-79	γ ($6,34 \cdot 10^9$ лет)
	35	$3n$	Sr-79	β^+ , γ (2,25 мин)
	55	$1\alpha 1p1n$	Br-78	β^+ , γ (16,2 ч)
	55	$1\alpha 2n$	Kr-78	β^+ ($1 \cdot 10^{17}$ лет)
	60	$1p3n$	Rb-78	β^+ , γ (17,66 мин)
	85	$1p2n$	Rb-79	β^+ , γ (22,9 мин)
	145	$2p1n$	Kr-79	β^+ , γ (1,46 сут)
	155	$2p2n$	Kr-78	$2\beta^+$ ($1 \cdot 10^{17}$ лет)

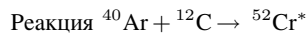


Энергия пучка ионов, МэВ/нуклон	Максимальное сечение, мб	Канал реакции	Образующиеся изотопы	Характеристики распада
0,3–2	—	—	—	—
2–2,5	10	$3n$	Y-82	β^+ , γ (8,3 с)
	15	$1p1n$	Y-83	β^+ , γ (4,6 с)
	45	$2p1n$	Rb-82	β^+ , γ (1,27 мин)
	125	$1p2n$	Sr-82	β^+ , γ (25,36 сут)
2,5–3	10	$1\alpha 1n$	Y-83	β^+ , γ (4,6 с)
	25	$1\alpha 2n$	Rb-81	β^+ , γ (4,58 ч)
	25	$3n$	Y-82	β^+ , γ (8,3 с)
	25	$1p1n$	Y-83	β^+ , γ (4,6 с)
	30	$1p3n$	Sr-81	β^+ , γ (22,3 мин)
	45	$1\alpha 1p1n$	Kr-81	β^+ , γ ($2,29 \cdot 10^5$ лет)
	60	$2p2n$	Rb-81	β^+ , γ (4,58 ч)
	120	$2p1n$	Rb-82	β^+ , γ (1,27 мин)
	270	$1p2n$	Sr-82	β^+ , γ (25,36 сут)
	10	$1\alpha 1p$	Kr-82	Стабильный
3–3,5	10	$1p1n$	Y-83	β^+ , γ (4,6 с)
	10	$2p3n$	Rb-80	β^+ , γ (33,5 с)
	15	$3n$	Y-82	β^+ , γ (8,3 с)
	20	$3p1n$	Kr-81	γ ($2,29 \cdot 10^5$ лет)
	25	$1\alpha 2n$	Rb-81	β^+ , γ (4,58 ч)
	50	$1\alpha 1p2n$	Kr-80	Стабильный
	55	$1\alpha 1p1n$	Kr-81	β^+ , γ ($2,29 \cdot 10^5$ лет)
	85	$1p3n$	Sr-81	β^+ , γ (22,3 мин)
	10	$2p1n$	Rb-82	β^+ , γ (1,27 мин)
	185	$2p2n$	Rb-81	β^+ , γ (4,58 ч)
	195	$1p2n$	Sr-82	β^+ , γ (25,36 сут)

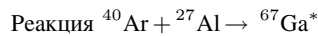
Реакции под действием налетающих ионов аргона



Энергия пучка ионов, МэВ/нуклон	Максимальное сечение, мб	Канал реакции	Образующиеся изотопы	Характеристики распада
0,3–1	—	—	—	—
1–1,5	10	$1p2n$	Sc-46	β^- , γ (83,79 сут)
	25	$3n$	Ti-46	Стабильный
	40	$1p1n$	Sc-47	β^- , γ (83,79 сут)
	75	$2n$	Ti-47	Стабильный
1,5–2	10	$1\alpha 1n$	Ca-44	Стабильный
	105	$1p1n$	Sc-47	β^- , γ (83,79 сут)
	130	$1p2n$	Sc-46	β^- , γ (83,79 сут)
	150	$3n$	Ti-46	Стабильный
	190	$2n$	Ti-47	Стабильный
2–2,5	20	$1\alpha 1n$	Ca-44	Стабильный
	95	$1p1n$	Sc-47	β^- , γ (83,79 сут)
	175	$2n$	Ti-47	Стабильный
	285	$3n$	Ti-46	Стабильный
	305	$1p2n$	Sc-46	β^- , γ (83,79 сут)
2,5–3	15	$2p1n$	Ca-46	Стабильный
	20	$1\alpha 2n$	Ca-45	β^- , γ (163 сут)
	20	$1\alpha 1n$	Ca-44	Стабильный
	65	$1p1n$	Sc-47	β^- , γ (83,79 сут)
	130	$2n$	Ti-47	Стабильный
	380	$3n$	Ti-46	Стабильный
	440	$1p2n$	Sc-46	β^- , γ (83,79 сут)
3–3,5	10	$4n$	Ti-45	β^+ , γ (3,08 ч)
	15	$1\alpha 1n$	Ca-44	Стабильный
	25	$2p1n$	Ca-46	Стабильный
	35	$1p1n$	Sc-47	β^- , γ (83,79 сут)
	35	$1\alpha 2n$	Ca-45	β^- , γ (163 сут)
	60	$1p3n$	Sc-45	Стабильный
	70	$2n$	Ti-47	Стабильный
	380	$3n$	Ti-46	Стабильный
	455	$1p2n$	Sc-46	β^- , γ (83,79 сут)



Энергия пучка ионов, МэВ/нуклон	Максимальное сечение, мб	Канал реакции	Образующиеся изотопы	Характеристики распада
0,3–1,5	—	—	—	—
1,5–2	30	1p2n	V-49	ϵ (330 сут)
	70	2n	Cr-50	Стабильный
	260	1p1n	V-50	Стабильный
2–2,5	45	3n	Cr-49	β^+ , γ (42 мин)
	85	2n	Cr-50	Стабильный
	190	1p2n	V-49	ϵ (330 сут)
	380	1p1n	V-50	Стабильный
2,5–3	15	1 α 1n	Ti-47	Стабильный
	40	1p2n	V-49	ϵ (330 сут)
	60	2n	Cr-50	Стабильный
	95	3n	Cr-49	β^+ , γ (42 мин)
	340	1p1n	V-50	Стабильный
3–3,5	10	1 α 3n	Ti-45	β^+ , γ (3,08 ч)
	230	2n	Cr-50	Стабильный
	60	2p1n	Ti-49	Стабильный
	70	1p3n	V-48	ϵ , β^+ , γ (15,97 сут)
	110	3n	Cr-49	β^+ , γ (42 мин)
	150	1p1n	V-50	Стабильный
	450	1p2n	V-49	ϵ (330 сут)



Энергия пучка ионов, МэВ/нуклон	Максимальное сечение, мб	Канал реакции	Образующиеся изотопы	Характеристики распада
0,3–1,5	—	—	—	—
1,5 – 2	30	1p2n	Zn-64	Стабильный
	130	1p2n	Zn-64	Стабильный
	160	2p2n	Cu-63	Стабильный
	50	2p1n	Cu-64	ϵ , β^+ , β^- , γ (12,7 ч)
	75	1p3n	Zn-63	β^+ , γ (38,1 мин)
	55	1 α 2n	Cu-61	β^+ , γ (3,4 ч)
	10	3n	Ga-64	β^+ , γ (2,62 мин)
2,5–3	100	1p2n	Zn-64	Стабильный
	225	2p2n	Cu-63	Стабильный
	40	2p1n	Cu-64	ϵ , β^+ , β^- , γ (12,7 ч)
	110	1p3n	Zn-63	β^+ , γ (38,1 мин)

Окончание таблицы

	75	1 α 2n	Cu-61	β^+ , γ (3,4 ч)
	10	3n	Ga-64	β^+ , γ (2,62 мин)
	10	1 α 1p1n	Ni-61	Стабильный
	15	1 α 1p2n	Ni-60	Стабильный
	35	1 α 3n	Cu-60	β^+ , γ (23 мин)
	80	2p3n	Cu-62	β^+ , γ (9,74 мин)
3–3,5	35	1p2n	Zn-64	Стабильный
	190	2p2n	Cu-63	Стабильный
	90	1p3n	Zn-63	β^+ , γ (38,1 мин)
	30	1 α 2n	Cu-61	β^+ , γ (3,4 ч)
	10	1 α 1p1n	Ni-61	Стабильный
	10	2 α 1n	Cu-62	β^+ , γ (9,74 мин)
	15	1 α 1p2n	Ni-60	Стабильный
	10	1 α 2p1n	Co-60	β^- , γ (5,272 г)
	50	1 α 3n	Cu-60	β^+ , γ (23 мин)
	215	2p3n	Cu-62	β^+ , γ (9,74 мин)

Реакция $^{40}\text{Ar} + ^{56}\text{Fe} \rightarrow ^{96}\text{Ru}^*$

Энергия пучка ионов, МэВ/нуклон	Максимальное сечение, мб	Канал реакции	Образующиеся изотопы	Характеристики распада
0,3–2,5	—	—	—	—
2,5–3	180	2p2n	Mo-93	Стабильный
	95	2p1n	Mo-93	ϵ ($3,5 \cdot 10^3$ лет)
	75	1p2n	Tc-93	ϵ , β^+ , γ (2,7 ч)
	35	1 α 1p1n	Nb-90	β^+ , γ (14,6 ч)
	25	3p1n	Nb-92	ϵ , γ ($3,6 \cdot 10^7$ лет) ϵ , β^+ , γ (10,15 сут)
	25	1p3n	Tc-92	β^+ , γ (4,4 мин)
3–3,5	220	2p2n	Mo-93	Стабильный
	100	2p1n	Mo-93	ϵ ($3,5 \cdot 10^3$ лет)
	80	1p2n	Tc-93	ϵ , β^+ , γ (2,7 ч)
	40	1 α 1p1n	Nb-90	β^+ , γ (14,6 ч)
	40	3p1n	Nb-92	ϵ , γ ($3,6 \cdot 10^7$ лет) ϵ , β^+ , γ (10,15 сут)
	30	1p3n	Tc-92	β^+ , γ (4,4 мин)
	90	3p2n	Nb-91	ϵ , β^+ (680 лет)
	35	1 α 2p1n	Zr-89	ϵ , β^+ , γ (78,4 ч)
	25	1 α 1p2n	Nb-89	β^+ , γ (2 ч; 66 мин)
	45	2p3n	Mo-91	β^+ , γ (15,6 мин)

Реакция $^{40}\text{Ar} + ^{60}\text{Ni} \rightarrow ^{100}\text{Pd}^*$

Энергия пучка ионов, МэВ/нуклон	Максимальное сечение, мб	Канал реакции	Образующиеся изотопы	Характеристики распада
0,3–2,5	—	—	—	—
2,5–3	145	$2p2n$	Ru-96	Стабильный
	120	$2p1n$	Ru-97	ϵ, γ (2,9 сут)
	55	$1p2n$	Rh-97	β^+, γ (31 мин)
	40	$3p1n$	Tc-96	ϵ, γ (4,3 сут)
	30	$1\alpha 1p1n$	Tc-94	β^+, γ (53 мин) $\epsilon, \beta^+, \gamma$ (4,9 ч)
	25	$1p3n$	Rh-96	β^+, γ (9,9 мин)
	15	$3p$	Tc-97	ϵ ($4 \cdot 10^6$ лет)
	15	$1\alpha 1p2n$	Tc-93	$\epsilon, \beta^+, \gamma$ (2,7 ч)
3–3,5	165	$2p2n$	Ru-96	Стабильный
	130	$2p1n$	Ru-97	ϵ, γ (2,9 сут)
	60	$1p2n$	Rh-97	β^+, γ (31 мин)
	65	$3p1n$	Tc-96	ϵ, γ (4,3 сут)
	35	$1\alpha 1p1n$	Tc-94	β^+, γ (53 мин) $\epsilon, \beta^+, \gamma$ (4,9 ч)
	25	$1p3n$	Rh-96	β^+, γ (9,9 мин)
	15	$3p$	Tc-97	ϵ ($4 \cdot 10^6$ лет)
	25	$1\alpha 1p2n$	Tc-93	$\epsilon, \beta^+, \gamma$ (2,7 ч)
	35	$1\alpha 2p1n$	Mo-93	ϵ ($3,5 \cdot 10^3$ лет)
	90	$2p3n$	Ru-95	$\epsilon, \beta^+, \gamma$ (1,65 ч)
	65	$3p2n$	Tc-95	ϵ, γ (20 ч)
	20	$1\alpha 2p2n$	Mo-92	Стабильный

 Реакция $^{40}\text{Ar} + ^{63}\text{Cu} \rightarrow ^{103}\text{Ag}^*$

Энергия пучка ионов, МэВ/нуклон	Максимальное сечение, мб	Канал реакции	Образующиеся изотопы	Характеристики распада
0,3–2,5	—	—	—	—
2,5–3	130	$2p2n$	Rh-99	$\epsilon, \beta^+, \gamma$ (4,7 ч; 16 сут)
	70	$2p1n$	Rh-100	$\epsilon, \beta^+, \gamma$ (20,8 ч)
	55	$1p2n$	Pd-100	ϵ, γ (3,7 сут)
	40	$1p3n$	Pd-99	β^+, γ (21,4 мин)
	20	$3p1n$	Ru-99	Стабильный
	15	$1\alpha 1p1n$	Ru-97	ϵ, γ (2,9 сут)
	15	$1\alpha 1p2n$	Ru-96	Стабильный

Окончание таблицы

3–3,5	180	$2p2n$	Rh-99	$\epsilon, \beta^+, \gamma$ (4,7 ч; 16 сут)
	100	$2p1n$	Rh-100	$\epsilon, \beta^+, \gamma$ (20,8 ч)
	70	$1p2n$	Pd-100	ϵ, γ (3,7 сут)
	45	$1p3n$	Pd-99	β^+, γ (21,4 мин)
	45	$3p1n$	Ru-99	Стабильный
	25	$1\alpha 1p1n$	Ru-97	ϵ, γ (2,9 сут)
	15	$1\alpha 1p2n$	Ru-96	Стабильный
	85	$2p3n$	Rh-98	β^+, γ (3,5 мин; 8,7 мин)
	60	$3p2n$	Ru-98	Стабильный
	15	$1\alpha 2p1n$	Tc-96	ϵ, γ (4,3 сут)

**Реакции под действием налетающих ионов криптона
(для заданного диапазона энергий реакции $^{84}\text{Kr} + ^{56}\text{Fe}$, $^{84}\text{Kr} + ^{60}\text{Ni}$
и $^{84}\text{Kr} + ^{63}\text{Cu}$ протекают ниже барьера слияния)**

Реакция $^{84}\text{Kr} + ^9\text{Be} \rightarrow ^{93}\text{Zr}^*$

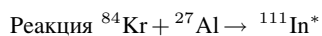
Энергия пучка ионов, МэВ/нуклон	Максимальное сечение, мб	Канал реакции	Образующиеся изотопы	Характеристики распада
0,3–2	—	—	—	—
2–2,5	200	$3n$	Zr-90	Стабильный
	40	$1p2n$	Y-90	β^-, γ (64,1 ч)
2,5–3	420	$3n$	Zr-90	Стабильный
	100	$1p2n$	Y-90	β^-, γ (64,1 ч)
	30	$4n$	Zr-89	$\epsilon, \beta^+, \gamma$ (78,4 ч)
3–3,5	450	$3n$	Zr-90	Стабильный
	125	$1p2n$	Y-90	β^-, γ (64,1 ч)
	150	$4n$	Zr-89	$\epsilon, \beta^+, \gamma$ (78,4 ч)
	100	$1p3n$	Y-89	Стабильный
	25	$1\alpha 2n$	Sr-84	Стабильный

Реакция $^{84}\text{Kr} + ^{12}\text{C} \rightarrow ^{96}\text{Mo}^*$

Энергия пучка ионов, МэВ/нуклон	Максимальное сечение, мб	Канал реакции	Образующиеся изотопы	Характеристики распада
0,3–2,5	—	—	—	—
2,5–3	200	$3n$	Mo-93	ϵ ($3,5 \cdot 10^3$ лет)
	50	$1p2n$	Nb-93	Стабильный
	20	$2n$	Mo-94	Стабильный
	15	$1p1n$	Nb-94	β^-, γ ($2 \cdot 10^4$ лет)

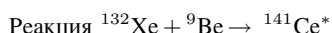
Окончание таблицы

3-3,5	325	$3n$	Mo-93	ϵ ($3,5 \cdot 10^3$ лет)
	150	$1p2n$	Nb-93	Стабильный
	25	$2n$	Mo-94	Стабильный
	20	$1p1n$	Nb-94	β^- , γ ($2 \cdot 10^4$ лет)
	50	$1\alpha2n$	Zr-90	Стабильный

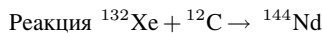


Энергия пучка ионов, МэВ/нуклон	Максимальное сечение, мб	Канал реакции	Образующиеся изотопы	Характеристики распада
0,3-2,5	—	—	—	—
2,5-3	50	$1p3n$	Cd-107	ϵ , β^+ , γ (6,5 ч)
	30	$1p2n$	Cd-108	Стабильный
	15	$4n$	In-107	ϵ , β^+ (32,4 мин)
3-3,5	200	$1p3n$	Cd-107	ϵ , β^+ , γ (6,5 ч)
	45	$1p2n$	Cd-108	Стабильный
	30	$4n$	In-107	ϵ , β^+ (32,4 мин)
	50	$1\alpha3n$	Ag-104	ϵ , β^+ , γ (69,2 мин)
	50	$2p2n$	Ag-107	Стабильный
	25	$4n$	In-107	ϵ , β^+ (32,4 мин)
	20	$1\alpha2n$	Ag-105	ϵ , β^+ , γ (41,29 сут)
	25	$1\alpha1p2n$	Pd-104	Стабильный
	15	$3n$	In-108	ϵ , β^+ (58 мин)

**Реакции под действием налетающих ионов ксенона
(для заданного диапазона энергий реакции $^{132}\text{Xe} + ^{27}\text{Al}$, $^{132}\text{Xe} + ^{56}\text{Fe}$,
 $^{132}\text{Xe} + ^{60}\text{Ni}$, $^{132}\text{Xe} + ^{63}\text{Cu}$ протекают ниже барьера слияния)**



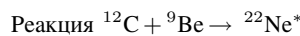
Энергия пучка ионов, МэВ/нуклон	Максимальное сечение, мб	Канал реакции	Образующиеся изотопы	Характеристики распада
0,3-3	—	—	—	—
3-3,5	250	$3n$	Ce-138	Стабильный
	50	$4n$	Ce-137	ϵ , β^+ , γ (9 ч)



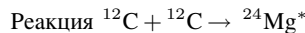
Энергия пучка ионов, МэВ/нуклон	Максимальное сечение, мб	Канал реакции	Образующиеся изотопы	Характеристики распада
0,3–3	—	—	—	—
3–3,5	20	$3n$	Nd-141	$\epsilon, \beta^+, \gamma$ (2,5 ч)

ПРИЛОЖЕНИЕ 3

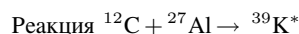
Реакции под действием налетающих ионов углерода



Энергия пучка ионов, МэВ/нуклон	Канал реакции	Пробег ионов, мкм	Поток нейтронов, 10^7 с^{-1}	Суммарный поток, 10^7 с^{-1}
2–2,5	$1p1n$	6,73	6,46	10,32
	$1\alpha 1n$		3,86	
2,5–3	$1p1n$	9,14	14	26,23
	$1\alpha 1n$		12,23	
3–3,5	$1p1n$	7,80	13,5	22,48
	$1\alpha 1n$		8,98	



Энергия пучка ионов, МэВ/нуклон	Канал реакции	Пробег ионов, мкм	Поток нейтронов, 10^7 с^{-1}	Суммарный поток, 10^7 с^{-1}
1,5–2	$1n$	3,44	0,78	0,78
2–2,5	$1p1n$	4,07	2,8	2,8
2,5–3	$1p1n$	5,60	8,47	8,47
3–3,5	$1p1n$	5,99	11,79	11,79



Энергия пучка ионов, МэВ/нуклон	Канал реакции	Пробег ионов, мкм	Поток нейтронов, 10^7 с^{-1}	Суммарный поток, 10^7 с^{-1}
1–1,5	$1p1n$	4,54	1,02	1,86
	$1\alpha 1n$		0,84	
1,5–2	$1\alpha 1n$	5,97	5,39	9,22
	$1p1n$		3,83	
2–2,5	$1\alpha 1n$	5,56	6,76	8,84
	$1p1n$		2,08	
2,5–3	$1\alpha 1n$	7,32	10,96	10,96
3–3,5	$1\alpha 1n$	6,06	4,5	9
	$1\alpha 1p1n$			

Реакция $^{12}\text{C} + ^{56}\text{Fe} \rightarrow ^{68}\text{Ge}^*$

Энергия пучка ионов, МэВ/нуклон	Канал реакции	Пробег ионов, мкм	Поток нейтронов, 10^7 с^{-1}	Суммарный поток, 10^7 с^{-1}
2–2,5	$1p1n$	2,49	2,85	2,85
2,5–3	$1p1n$	2,71	5,7	5,7
3–3,5	$1p1n$	2,73	4,67	8,61
	$2p$		1,93	
	$2p1n$		2,01	

Реакция $^{12}\text{C} + ^{60}\text{Ni} \rightarrow ^{72}\text{Se}^*$

Энергия пучка ионов, МэВ/нуклон	Канал реакции	Пробег ионов, мкм	Поток нейтронов, 10^7 с^{-1}	Суммарный поток, 10^7 с^{-1}
2–2,5	$1p1n$	2,19	1,82	1,82
2,5–3	$1p1n$	2,38	5,28	5,28
3–3,5	$1p1n$	2,37	4,6	9,04
	$2p1n$		2,09	
	$1p2n$		2,35	

Реакция $^{12}\text{C} + ^{63}\text{Cu} \rightarrow ^{75}\text{Br}^*$

Энергия пучка ионов, МэВ/нуклон	Канал реакции	Пробег ионов, мкм	Поток нейтронов, 10^7 с^{-1}	Суммарный поток, 10^7 с^{-1}
2–2,5	$1p1n$	2,33	1,54	1,54
2,5–3	$1p1n$	2,54	6,06	6,06
3–3,5	$1p1n$	2,53	6,84	6,84

Реакции под действием налетающих ионов неона-20

Реакция $^{20}\text{Ne} + ^9\text{Be} \rightarrow ^{29}\text{Si}^*$

Энергия пучка ионов, МэВ/нуклон	Канал реакции	Пробег ионов, мкм	Поток нейтронов, 10^7 с^{-1}	Суммарный поток, 10^7 с^{-1}
0,3–1	$1p1n$	2,17	0,99	0,99
1–1,5	$1p1n$	2,41	8,15	8,15
1,5–2	$1p1n$	2,69	12,05	12,05
2–2,5	$1p1n$	3,00	10,37	22,72
	$1\alpha 1n$		3,66	
	$1p2n$		8,69	
2,5–3	$1p2n$	3,34	15,66	27,95
	$1\alpha 1n$		5,75,7	
	$1p1n$		6,59	
3–3,5	$1p2n$	3,64	18,46	28,55
	$1p1n$		4,8	
	$1\alpha 1n$		5,29	

Реакция $^{20}\text{Ne} + ^{12}\text{C} \rightarrow ^{32}\text{S}^*$

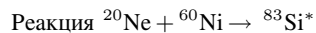
Энергия пучка ионов, МэВ/нуклон	Канал реакции	Пробег ионов, мкм	Поток нейтронов, 10^7 с^{-1}	Суммарный поток, 10^7 с^{-1}
1–1,5	$1p1n$	1,96	2,95	2,95
1,5–2	$1p1n$	2,18	5,73	5,73
2–2,5	$1p1n$	2,37	6,82	6,82
2,5–3	$1p1n$	2,59	5,45	7,79
	$2p1n$		2,34	
3–3,5	$2p1n$	2,79	4,3	7,49
	$1p1n$		3,19	

Реакция $^{20}\text{Ne} + ^{27}\text{Al} \rightarrow ^{47}\text{V}^*$

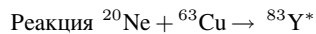
Энергия пучка ионов, МэВ/нуклон	Канал реакции	Пробег ионов, мкм	Поток нейтронов, 10^7 с^{-1}	Суммарный поток, 10^7 с^{-1}
1,5–2	$2p1n$	2,30	1,59	2,66
	$1p1n$		1,07	
2–2,5	$1p1n$	2,46	0,56	1,2
	$1p2n$		0,64	
2,5–3	$2p1n$	2,65	2,53	3,31
	$1p2n$		0,78	
3–3,5	$2p1n$	2,83	1,22	3,9
	$2p2n$		1,68	
	$3p1n$		1	

Реакция $^{20}\text{Ne} + ^{56}\text{Fe} \rightarrow ^{76}\text{Kr}^*$

Энергия пучка ионов, МэВ/нуклон	Канал реакции	Пробег ионов, мкм	Поток нейтронов, 10^7 с^{-1}	Суммарный поток, 10^7 с^{-1}
2–2,5	$1p1n$	1,10	0,34	0,56
	$2p1n$		0,22	
2,5–3	$2p1n$	1,19	2,18	3,02
	$1p1n$		0,84	
3–3,5	$1p1n$	1,27	0,67	1,63
	$2p2n$		0,67	
	$3p1n$		0,29	

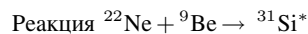


Энергия пучка ионов, МэВ/нуклон	Канал реакции	Пробег ионов, мкм	Поток нейтронов, 10^7 с^{-1}	Суммарный поток, 10^7 с^{-1}
2–2,5	$2p1n$	0,94	0,55	0,97
	$1p1n$		0,42	
2,5–3	$2p1n$	1,03	1,45	3,14
	$1p2n$		0,79	
	$1p1n$		0,9	
3–3,5	$1n$	1,11	1,11	6,63
	$3p1n$		0,5	
	$2p2n$		1,4	
	$1\alpha 1p1n$		0,79	
	$1p2n$		1,89	
	$2p1n$		0,94	



Энергия пучка ионов, МэВ/нуклон	Канал реакции	Пробег ионов, мкм	Поток нейтронов, 10^7 с^{-1}	Суммарный поток, 10^7 с^{-1}
2–2,5	$2p1n$	1,03	0,16	0,26
	$1p1n$		0,1	
2,5–3	$2p1n$	1,10	1,22	1,22
3–3,5	$2p1n$	1,18	1,37	2,96
	$3n$		1,59	

Реакции под действием налетающих ионов неона-22



Энергия пучка ионов, МэВ/нуклон	Канал реакции	Пробег ионов, мкм	Поток нейтронов, 10^7 с^{-1}	Суммарный поток, 10^7 с^{-1}
0,3–1	$2n$	2,14	1,78	2,59
	$1p1n$		0,81	
1–1,5	$2n$	2,35	7,58	11,15
	$1p1n$		3,57	
1,5–2	$1p2n$	2,60	10,39	34,74
	$1p1n$		3,39	
	$3n$		10,48	
	$2n$		10,48	
2–2,5	$3n$	2,85	25,3	36,98
	$2n$		11,68	

Окончание таблицы

2,5–3	$1p2n$	3,16	20,69	41,91
	$2n$		7,47	
	$3n$		13,75	
3–3,5	$1p2n$	3,46	21,27	48,02
	$1p3n$		4,39	
	$2n$		3,99	
	$3n$		18,37	

Реакция $^{22}\text{Ne} + ^{12}\text{C} \rightarrow ^{34}\text{S}^*$

Энергия пучка ионов, МэВ/нуклон	Канал реакции	Пробег ионов, мкм	Поток нейтронов, 10^7 с^{-1}	Суммарный поток, 10^7 с^{-1}
1–1,5	$1\alpha 1n$	1,96	0,68	1,91
	$1p2n$		1,23	
1,5–2	$1p2n$	2,82	5,9	9,82
	$1\alpha 2n$		2,35	
	$1\alpha 1n$		1,57	
2–2,5	$1p2n$	2,38	9,35	16,12
	$1\alpha 2n$		6,77	
2,5–3	$1\alpha 2n$	3,10	14,14	26,19
	$1p2n$		12,05	
3–3,5	$1\alpha 2n$	3,89	18,02	27,79
	$1p2n$		9,77	

Реакция $^{22}\text{Ne} + ^{27}\text{Al} \rightarrow ^{49}\text{V}^*$

Энергия пучка ионов, МэВ/нуклон	Канал реакции	Пробег ионов, мкм	Поток нейтронов, 10^7 с^{-1}	Суммарный поток, 10^7 с^{-1}
1–1,5	$2n$	2,15	0,16	0,24
	$1n$		0,08	
1,5–2	$2n$	2,26	1,26	1,72
	$1\alpha 1n$		0,46	
2–2,5	$1\alpha 1n$	2,38	0,6	1,66
	$2n$		0,53	
	$1\alpha 1n$		0,53	
2,5–3	$2\alpha 2n$	2,55	2,1	3,79
	$2p2n$		1,69	
3–3,5	$2\alpha 2n$	2,72	2,64	5,06
	$2p2n$		2,42	

Реакция $^{22}\text{Ne} + ^{56}\text{Fe} \rightarrow ^{78}\text{Kr}^*$

Энергия пучка ионов, МэВ/нуклон	Канал реакции	Пробег ионов, мкм	Поток нейтронов, 10^7 с^{-1}	Суммарный поток, 10^7 с^{-1}
2–2,5	$1p2n$	1,06	1,5	1,99
	$2p1n$		0,49	
2,5–3	$1p2n$	1,14	1,91	5,97
	$2n$		0,71	
	$2p2n$		0,83	
	$3n$		1,6	
	$2p1n$		0,92	
3–3,5	$2p2n$	1,22	1,92	6,95
	$1p2n$		0,69	
	$2p1n$		0,44	
	$3n$		1,52	
	$1p3n$		2,38	

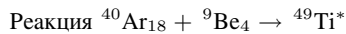
Реакция $^{22}\text{Ne} + ^{60}\text{Ni} \rightarrow ^{82}\text{Sr}^*$

Энергия пучка ионов, МэВ/нуклон	Канал реакции	Пробег ионов, мкм	Поток нейтронов, 10^7 с^{-1}	Суммарный поток, 10^7 с^{-1}
2–2,5	$2p1n$	0,94	0,39	1,39
	$1p1n$		0,28	
	$1p2n$		0,72	
2,5–3	$2p1n$	1,00	1,11	2,6
	$1p2n$		1,49	
3–3,5	$2p2n$	1,06	1,82	5,35
	$1\alpha 2n$		0,64	
	$1p3n$		1,05	
	$1p2n$		0,99	
	$2p1n$		0,85	

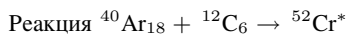
Реакция $^{22}\text{Ne} + ^{63}\text{Cu} \rightarrow ^{85}\text{Y}^*$

Энергия пучка ионов, МэВ/нуклон	Канал реакции	Пробег ионов, мкм	Поток нейтронов, 10^7 с^{-1}	Суммарный поток, 10^7 с^{-1}
2–2,5	$1p2n$	1,01	1,34	1,34
2,5–3	$1p2n$	1,07	3,06	4,4
	$2p2n$		0,67	
	$2p1n$		0,67	
3–3,5	$1p2n$	1,13	2,34	6,63
	$1\alpha 1p2n$		0,59	
	$1p3n$		1,51	
	$2p2n$		2,19	

Реакции под действием налетающих ионов аргона



Энергия пучка ионов, МэВ/нуклон	Канал реакции	Пробег ионов, мкм	Поток нейтронов, 10^7 с^{-1}	Суммарный поток, 10^7 с^{-1}
1–1,5	$1p2n$	1,10	0,17	2,42
	$3n$		0,64	
	$1p1n$		0,34	
	$2n$		1,27	
1,5–2	$1\alpha 1n$	1,18	0,09	11,01
	$1p1n$		0,96	
	$1p2n$		2,38	
	$3n$		4,11	
	$2n$		3,47	
2–2,5	$1\alpha 1n$	1,28	0,20	19,10
	$1p1n$		0,94	
	$2n$		3,46	
	$3n$		8,46	
	$1p2n$		6,04	
2,5–3	$2p1n$	1,40	0,16	26,09
	$1\alpha 2n$		0,43	
	$1\alpha 1n$		0,22	
	$1p1n$		0,70	
	$2n$		2,80	
	$3n$		12,29	
	$1p2n$		9,49	
3–3,5	$4n$	1,50	0,46	29,39
	$1\alpha 1n$		0,18	
	$2p1n$		0,29	
	$1p1n$		0,41	
	$1\alpha 2n$		0,56	
	$1p3n$		2,09	
	$2n$		1,63	
	$3n$		13,22	
	$1p2n$		10,55	



Энергия пучка ионов, МэВ/нуклон	Канал реакции	Пробег ионов, мкм	Поток нейтронов, 10^7 с^{-1}	Суммарный поток, 10^7 с^{-1}
1,5 - 2	$1p2n$	0,96	0,41	3,12
	$2n$		0,95	
	$1p1n$		1,76	

Окончание таблицы

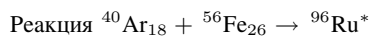
2–2,5	$3n$	1,02	0,96	7,67
	$2n$		1,23	
	$1p2n$		2,74	
	$1p1n$		2,74	
2,5–3	$1\alpha 1n$	1,09	0,12	6,48
	$1p2n$		0,62	
	$2n$		0,93	
	$3n$		2,19	
	$1p1n$		2,62	
3–3,5	$1\alpha 3n$	1,16	0,25	17,38
	$2n$		3,75	
	$2p1n$		0,49	
	$1p3n$		1,71	
	$3n$		2,69	
	$1p1n$		1,22	
	$1p2n$		7,34	



Энергия пучка ионов, МэВ/нуклон	Канал реакции	Пробег ионов, мкм	Поток нейтронов, 10^7 с^{-1}	Суммарный поток, 10^7 с^{-1}
1,5–2	$1p2n$	1,02	0,23	0,23
2–2,5	$1p2n$	1,07	1,10	3,96
	$2p2n$		1,35	
	$2p1n$		0,21	
	$1p3n$		0,95	
	$1\alpha 2n$		0,22	
	$3n$		0,13	
2,5–3	$1p2n$	1,12	0,84	6,67
	$2p2n$		1,90	
	$2p1n$		0,17	
	$1p3n$		1,39	
	$1\alpha 2n$		0,63	
	$3n$		0,12	
	$1\alpha 1p1n$		0,04	
	$1\alpha 1p2n$		0,13	
	$1\alpha 3n$		0,44	
3–3,5	$2p3n$		1,01	
	$1p2n$	1,18	0,31	7,25
	$2p2n$		1,68	
	$1p3n$		1,19	
	$1\alpha 2n$		0,27	
	$1\alpha 1p1n$		0,05	

Окончание таблицы

	$2\alpha 1n$		0,05	
	$1\alpha 1p2n$		0,14	
	$1\alpha 2p1n$		0,05	
	$1\alpha 3n$		0,66	
	$2p3n$		2,85	



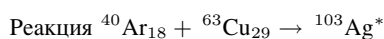
Энергия пучка ионов, МэВ/нуклон	Канал реакции	Пробег ионов, мкм	Поток нейтронов, 10^7 с^{-1}	Суммарный поток, 10^7 с^{-1}
2,5–3	$2p2n$	0,5	0,95	1,87
	$2p1n$		0,25	
	$1p2n$		0,20	
	$1\alpha 1p1n$		0,09	
	$3p1n$		0,19	
	$1p3n$		0,19	
3–3,5	$2p2n$	0,52	1,22	3,54
	$2p1n$		0,28	
	$1p2n$		0,45	
	$1\alpha 1p1n$		0,11	
	$3p1n$		0,11	
	$1p3n$		0,25	
	$3p2n$		0,50	
	$1\alpha 2p1n$		0,10	
	$1\alpha 1p2n$		0,14	
	$2p3n$		0,38	



Энергия пучка ионов, МэВ/нуклон	Канал реакции	Пробег ионов, мкм	Поток нейтронов, 10^7 с^{-1}	Суммарный поток, 10^7 с^{-1}
2,5–3	$2p2n$	0,44	0,73	1,78
	$2p1n$		0,30	
	$1p2n$		0,28	
	$3p1n$		0,12	
	$1\alpha 1p1n$		0,08	
	$1p3n$		0,19	
	$1\alpha 1p2n$		0,08	
3–3,5	$2p2n$	0,47	0,86	3,36
	$2p1n$		0,34	
	$1p2n$		0,32	

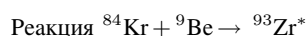
Окончание таблицы

	$3p1n$		0,17	
	$1\alpha 1p1n$		0,09	
	$1p3n$		0,20	
	$1\alpha 1p2n$		0,13	
	$1\alpha 2p1n$		0,09	
	$2p3n$		0,71	
	$3p2n$		0,34	
	$1\alpha 2p2n$		0,11	



Энергия пучка ионов, МэВ/нуклон	Канал реакции	Пробег ионов, мкм	Поток нейтронов, 10^7 с^{-1}	Суммарный поток, 10^7 с^{-1}
2,5–3	$2p2n$	0,47	0,65	1,31
	$2p1n$		0,18	
	$1p2n$		0,28	
	$1p3n$		0,30	
	$3p1n$		0,05	
	$1\alpha 1p1n$		0,04	
	$1\alpha 1p2n$		0,08	
3–3,5	$2p2n$	0,49	0,94	3,30
	$2p1n$		0,26	
	$1p2n$		0,37	
	$1p3n$		0,35	
	$3p1n$		0,12	
	$1\alpha 1p1n$		0,07	
	$1\alpha 1p2n$		0,08	
	$2p3n$		0,75	
	$3p2n$		0,32	
	$1\alpha 2p1n$		0,04	

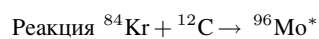
Реакции под действием налетающих ионов криптона



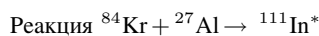
Энергия пучка ионов, МэВ/нуклон	Канал реакции	Пробег ионов, мкм	Поток нейтронов, 10^7 с^{-1}	Суммарный поток, 10^7 с^{-1}
2–2,5	$3n$	0,56	2,57	2,91
	$1p2n$		0,34	
2,5–3	$3n$	0,85	8,26	10,36
	$1p2n$		1,31	
	$4n$		0,79	

Окончание таблицы

3–3,5	$3n$	1,38	4,79	17,57
	$1p2n$		2,66	
	$4n$		6,39	
	$1p3n$		3,20	
	$1\alpha 2n$		0,53	

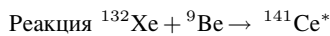


Энергия пучка ионов, МэВ/нуклон	Канал реакции	Пробег ионов, мкм	Поток нейтронов, 10^7 с^{-1}	Суммарный поток, 10^7 с^{-1}
2,5–3	$3n$	0,66	2,79	3,65
	$1p2n$		0,46	
	$2n$		0,19	
	$1p1n$		0,07	
3–3,5	$3n$	1,06	7,28	10,79
	$1p2n$		2,24	
	$2n$		0,37	
	$1p1n$		0,15	
	$1\alpha 2n$		0,75	

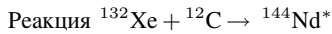


Энергия пучка ионов, МэВ/нуклон	Канал реакции	Пробег ионов, мкм	Поток нейтронов, 10^7 с^{-1}	Суммарный поток, 10^7 с^{-1}
2,5–3	$1p3n$	1,09	0,61	1,09
	$1p2n$		0,24	
	$4n$		0,24	
3–3,5	$1p3n$	1,08	2,44	5,29
	$1p2n$		0,36	
	$4n$		0,49	
	$1\alpha 3n$		0,61	
	$2p2n$		0,41	
	$4n$		0,41	
	$1\alpha 2n$		0,18	
	$1\alpha 1p2n$		0,21	
	$3n$		0,18	

Реакции под действием налетающих ионов ксенона



Энергия пучка ионов, МэВ/нуклон	Канал реакции	Пробег ионов, мкм	Поток нейтронов, 10^7 с^{-1}	Суммарный поток, 10^7 с^{-1}
3–3,5	$3n$	0,35	3,08	3,90
	$4n$		0,82	



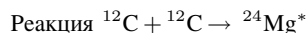
Энергия пучка ионов, МэВ/нуклон	Канал реакции	Пробег ионов, мкм	Поток нейтронов, 10^7 с^{-1}	Суммарный поток, 10^7 с^{-1}
3–3,5	$3n$	0,27	0,11	0,11

ПРИЛОЖЕНИЕ 4

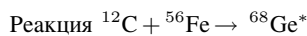
РАСЧЕТЫ ГАММА-ФОНА

(В ПРЕДПОЛОЖЕНИИ, ЧТО ИНТЕНСИВНОСТЬ ПУЧКОВ УСКОРЕННЫХ ЧАСТИЦ ПРИНИМАЛАСЬ ПОСТОЯННОЙ И РАВНОЙ 1 мкА/ЧАСТИЦ (6,24 · 10^{12} с^{-1}), ВРЕМЕННОЙ ИНТЕРВАЛ ПОСЛЕ ВЫКЛЮЧЕНИЯ ПУЧКА СОСТАВЛЯЛ 1 ч)

Реакции под действием налетающих ионов углерода



Энергия пучка ионов, МэВ/нуклон	Активность, МБк	Канал реакции	Образующиеся изотопы	Характеристики распада
2,5–3	169,4	$1p1n$	Na-22	γ (2,603 лет)
3–3,5	235,8	$1p1n$	Na-22	γ (2,603 лет)



Энергия пучка ионов, МэВ/нуклон	Активность, МБк	Канал реакции	Образующиеся изотопы	Характеристики распада
2–2,5	53	$1p1n$	Ga-66	γ (9,4 ч)
	106	$1p1n$	Ga-66	γ (9,4 ч)
	4,2	$2p1n$	Zn-65	γ (244,3 сут)
	5,2	$2n$	Ge-66	γ (2,3 ч)
	4,7	$1\alpha 1n$	Zn-63	γ (38,1 мин)
3–3,5	86	$1p1n$	Ga-66	γ (9,4 ч)
	2,3	$1p2n$	Ga-65	γ (15 мин)
	4,2	$2n$	Ge-66	γ (2,3 ч)
	8,4	$1\alpha 1n$	Zn-63	γ (38,1 мин)

Реакция $^{12}\text{C} + ^{60}\text{Ni} \rightarrow ^{72}\text{Se}^*$

Энергия пучка ионов, МэВ/нуклон	Активность, МБк	Канал реакции	Образующиеся изотопы	Характеристики распада
2–2,5	11,6	$1p1n$	As-70	γ (53 мин)
	18,5	$2n$	Se-70	γ (41,1 мин)
2,5–3	48	$1p1n$	As-70	γ (53 мин)
	4,8	$2n$	Se-70	γ (41,1 мин)
	1,4	$1\alpha 1n$	Ge-67	γ (18,7 мин)
3–3,5	42	$1p1n$	As-70	γ (53 мин)
	2,3	$1p2n$	As-69	γ (15,1 мин)
	4,2	$2n$	Se-70	γ (41,1 мин)
	5	$1\alpha 1n$	Ge-67	γ (18,7 мин)

Реакция $^{12}\text{C} + ^{63}\text{Cu} \rightarrow ^{75}\text{Br}^*$

Энергия пучка ионов, МэВ/нуклон	Активность, МБк	Канал реакции	Образующиеся изотопы	Характеристики распада
2–2,5	27,7	$1p1n$	Se-73	γ (7,1 ч)
2,5–3	109	$1p1n$	Se-73	γ (7,1 ч)
3–3,5	124,2	$1p1n$	Se-73	γ (7,1 ч)
	48	$2p1n$	As-72	γ (26 ч)
	6,1	$1\alpha 1n$	As-70	γ (53 мин)

Реакции под действием налетающих ионов неона-20

Реакция $^{20}\text{Ne} + ^{27}\text{Al} \rightarrow ^{47}\text{V}^*$

Энергия пучка ионов, МэВ/нуклон	Активность, МБк	Канал реакции	Образующиеся изотопы	Характеристики распада
1,5–2	17	$1p1n$	Ti-45	γ (3,08 ч)
	40,2	$2p1n$	Sr-44	γ (3,97 ч)
2–2,5	5	$1\alpha 1p$	K-43	γ (22,30 ч)
	6,4	$1p2n$	Ti-44	γ (60 лет)
	8,9	$1p1n$	Ti-45	γ (3,08 ч)
2,5–3	2,3	$1p1n$	Ti-45	γ (3,08 ч)
	8,4	$2p2n$	Sc-43	γ (3,89 ч)
	11,7	$1p2n$	Ti-44	γ (60 лет)
	66	$2p1n$	Sr-44	γ (3,97 ч)
3–3,5	14,2	$1\alpha 2p1n$	K-42	γ (12,36 ч)
	7,9	$1p2n$	Ti-44	γ (60 лет)
	28	$2p2n$	Sc-43	γ (3,89 ч)
	30	$2p1n$	Sr-44	γ (3,97 ч)

Реакция $^{20}\text{Ne} + ^{56}\text{Fe} \rightarrow ^{76}\text{Kr}^*$

Энергия пучка ионов, МэВ/нуклон	Активность, МБк	Канал реакции	Образующиеся изотопы	Характеристики распада
2–2,5	3,9	$2p1n$	Se-73	γ (7,15 ч)
	0,9	$1p1n$	Br-74	γ (25,4 мин)
2,5–3	6,5	$1\alpha 1p1n$	As-72	γ (1,08 сут)
	4,2	$3p$	As-73	γ (80,3 сут)
	3	$1p1n$	Br-74	γ (25,4 мин)
	59	$2p1n$	Se-73	γ (7,15 ч)
	2	$3p$	As-73	γ (80,3 сут)
3–3,5	0,06	$2n$	Kr-74	γ (11,5 мин)
	9,3	$1\alpha 2p1n$	Ge-71	γ (11,43 сут)
	12	$1\alpha 1p1n$	As-72	γ (1,08 сут)
	10,7	$3p1n$	As-72	γ (11,43 сут)
	13,4	$2p2n$	Se-72	γ (8,4 сут)
	2,5	$1p1n$	Br-74	γ (25,4 мин)

Реакция $^{20}\text{Ne} + ^{60}\text{Ni} \rightarrow ^{83}\text{Sr}^*$

Энергия пучка ионов, МэВ/нуклон	Активность, МБк	Канал реакции	Образующиеся изотопы	Характеристики распада
2–2,5	4	$1\alpha 1p$	Br-77	γ (2,38 сут)
	3	$3p$	Br-77	γ (2,38 сут)
	0,8	$1p1n$	Rb-78	γ (17,66 мин)
	9,5	$2p1n$	Kr-77	γ (1,24 ч)
2,5–3	4,2	$1\alpha 1p$	Br-77	γ (2,38 сут)
	3	$3p1n$	Br-76	γ (16,20 ч)
	10	$1\alpha 1p1n$	Br-76	γ (16,20 ч)
	6,5	$1\alpha 1n$	Kr-77	γ (1,24 ч)
	8,5	$3p$	Br-77	γ (2,38 сут)
	1,8	$1p1n$	Rb-78	γ (17,66 мин)
	43,5	$2p1n$	Kr-77	γ (1,24 ч)
3–3,5	6	$1\alpha 2p1n$	Se-75	γ (119,78 сут)
	3,6	$3p$	Br-77	γ (2,38 сут)
	5,3	$1\alpha 1n$	Kr-77	γ (1,24 ч)
	0,9	$1p1n$	Rb-78	γ (17,66 мин)
	20	$3p1n$	Br-76	γ (16,20 ч)
	28	$2p2n$	Kr-76	γ (14,8 ч)
	47,4	$1\alpha 1p1n$	Br-76	γ (16,2 ч)
	16,3	$2p1n$	Kr-77	γ (1,24 ч)

Реакция $^{20}\text{Ne} + ^{63}\text{Cu} \rightarrow ^{83}\text{Y}^*$

Энергия пучка ионов, МэВ/нуклон	Активность, МБк	Канал реакции	Образующиеся изотопы	Характеристики распада
2–2,5	0,3	$1p1n$	Sr-81	γ (22,3 мин)
2,5–3	10,4	$1\alpha 1p1n$	Kr-79	γ (1,46 ч)
	0,6	$1p1n$	Sr-81	γ (22,3 мин)
	5,8	$1p2n$	Sr-80	γ (1,77 ч)
	0,6	$1\alpha 2n$	Rb-78	γ (22,9 мин)
3–3,5	1,9	$2p$	Rb-81	γ (4,58 ч)
	0,4	$1p1n$	Sr-81	γ (22,3 мин)
	9	$3p1n$	Kr-79	γ (1,46 сут)
	2,1	$2p2n$	Rb-78	γ (22,9 мин)
	24,3	$1\alpha 1p1n$	Kr-79	γ (1,46 сут)
	9,5	$1p2n$	Sr-80	γ (1,77 ч)

Реакции под действием налетающих ионов неона-22

Реакция $^{22}\text{Ne} + ^9\text{Be} \rightarrow ^{31}\text{Si}^*$

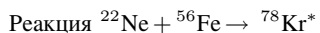
Энергия пучка ионов, МэВ/нуклон	Активность, МБк	Канал реакции	Образующиеся изотопы	Характеристики распада
1–1,5	9	$1\alpha 1n$	Mg-28	γ (20,91 ч)
1,5–2	19	$1\alpha 1n$	Mg-28	γ (20,91 ч)
2–2,5	17,7	$1\alpha 1n$	Mg-28	γ (20,91 ч)
2,5 – 3	1,2	$1\alpha 1n$	Mg-28	γ (20,91 ч)
3–3,5	29	$1\alpha 1n$	Mg-28	γ (20,91 ч)

Реакция $^{22}\text{Ne} + ^{27}\text{Al} \rightarrow ^{49}\text{V}^*$

Энергия пучка ионов, МэВ/нуклон	Активность, МБк	Канал реакции	Образующиеся изотопы	Характеристики распада
1–1,5	0,2	$2n$	V-47	γ (32,6 мин)
	0,8	$1n$	V-48	γ (15,97 сут)
	2	$2p$	Sc-47	γ (3,35 сут)
1,5–2	9,5	$2p1n$	Sc-46	γ (83,79 сут)
	23	$1\alpha 1n$	Sc-46	γ (83,79 сут)
	4,7	$2n$	V-47	γ (32,6 мин)
	22	$2p$	Sc-47	γ (3,35 сут)
2–2,5	1,2	$1p3n$	Ti-45	γ (3,08 ч)
	1,2	$1n$	V-48	γ (15,97 сут)
	8,3	$2p2n$	Sc-45	γ ($6,34 \cdot 10^9$ лет)

Окончание таблицы

	5,3	2n	V-47	γ (32,6 мин)
	7,9	2 α 2n	K-43	γ (22,3 ч)
	5,3	2p1n	Sc-46	γ (83,79 сут)
	10	1 α 1n	Sc-46	γ (83,79 сут)
	8,5	2p	Sc-47	γ (3,35 сут)
2,5–3	0,9	1n	V-48	γ (15,97 сут)
	8,5	2p1n	Sc-46	γ (83,79 сут)
	16,9	1 α 1n	Sc-46	γ (83,79 сут)
	33,8	2p2n	Sc-45	γ ($6,34 \cdot 10^9$ лет)
	63	2 α 2n	K-43	γ (22,3 ч)
	30	2p	Sc-47	γ (3,35 сут)
3–3,5	3	2p1n	Sc-46	γ (83,79 сут)
	7,5	1 α 1n	Sc-46	γ (83,79 сут)
	12,1	1 α 2n	Sc-45	γ ($6,34 \cdot 10^9$ лет)
	21,3	1 α 1p1n	Ca-45	γ (162,61 сут)
	12,1	2p	Sc-47	γ (3,35 сут)
	48,4	2p2n	Sc-45	γ ($6,34 \cdot 10^9$ лет)
	79,2	2 α 2n	K-43	γ (22,3 ч)



Энергия пучка ионов, МэВ/нуклон	Активность, МБк	Канал реакции	Образующиеся изотопы	Характеристики распада
2–2,5	4	1 α 1n	Se-75	γ (119,78 сут)
	3,2	2n	Kr-76	γ (14,8 ч)
	5,4	1p1n	Br-76	γ (16,2 ч)
	14,7	2p1n	Se-75	γ (119,78 сут)
	22,5	1p2n	Br-75	γ (1,61 ч)
2,5–3	0,9	1p3n	Br-74	γ (25,4 мин)
	10,3	1 α 1p2n	As-73	γ (80,3 сут)
	4,1	1p1n	Br-76	γ (16,2 ч)
	14,5	1 α 1n	Se-75	γ (119,78 сут)
	7,1	2n	Kr-76	γ (14,8 ч)
	28,6	2p1n	Se-75	γ (119,78 сут)
3–3,5	3,1	1 α 1n	Se-75	γ (119,78 сут)
	3,8	3p1n	As-74	γ (17,77 сут)
	13	1 α 1p2n	As-73	γ (80,3 сут)
	6,7	1p2n	Br-75	γ (1,61 ч)
	13,2	2p1n	Se-75	γ (119,78 сут)
	6,1	1p3n	Br-74	γ (25,4 мин)

Реакция $^{22}\text{Ne} + ^{60}\text{Ni} \rightarrow ^{82}\text{Sr}^*$

Энергия пучка ионов, МэВ/нуклон	Активность, МБк	Канал реакции	Образующиеся изотопы	Характеристики распада
2–2,5	3,9	$1\alpha 1n$	Kr-79	γ (1,46 сут)
	1,8	$1p2n$	Rb-79	γ (22,9 мин)
	11,7	$2p1n$	Kr-79	γ (1,46 сут)
2,5 – 3	1,5	$2n$	Sr-80	γ (1,77 ч)
	15	$1\alpha 1p1n$	Br-78	γ (16,2 ч)
	0,4	$1p2n$	Rb-79	γ (22,9 мин)
	33,3	$2p1n$	Kr-79	γ (1,46 сут)
	8,2	$1\alpha 3p$	As-77	γ (1,62 сут)
3–3,5	3,5	$3p$	Br-79	γ ($6,34 \cdot 10^9$ лет)
	19	$1\alpha 1p1n$	Br-78	γ (16,2 ч)
	2	$1p3n$	Rb-78	γ (17,66 мин)
	2,4	$1p2n$	Rb-79	γ (22,9 мин)
	25,5	$2p1n$	Kr-79	γ (1,46 сут)

Реакция $^{22}\text{Ne} + ^{63}\text{Cu} \rightarrow ^{85}\text{Y}^*$

Энергия пучка ионов, МэВ/нуклон	Активность, МБк	Канал реакции	Образующиеся изотопы	Характеристики распада
2–2,5	20,1	$1p2n$	Sr-82	γ (25,36 сут)
	6,9	$1\alpha 2n$	Rb-81	γ (4,58 ч)
	1,1	$1p3n$	Sr-81	γ (22,3 мин)
2,5–3	15	$1\alpha 1p1n$	Kr-81	γ ($2,29 \cdot 10^5$ лет)
	13,4	$2p2n$	Rb-81	γ (4,58 ч)
	45,9	$1p2n$	Sr-82	γ (25,36 сут)
	6,9	$3p1n$	Kr-81	γ ($2,29 \cdot 10^5$ лет)
	11,2	$1\alpha 2n$	Rb-81	γ (4,58 ч)
	29	$1\alpha 1p1n$	Kr-81	γ ($2,29 \cdot 10^5$ лет)
	3,3	$1p3n$	Sr-81	γ (22,3 мин)
3–3,5	64,7	$2p2n$	Rb-81	γ (4,58 ч)
	35,1	$1p2n$	Sr-82	γ (25,36 сут)

Реакции под действием налетающих ионов аргона

Реакция $^{40}\text{Ar} + ^9\text{Be} \rightarrow ^{49}\text{Ti}^*$

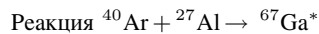
Энергия пучка ионов, МэВ/нуклон	Активность, МБк	Канал реакции	Образующиеся изотопы	Характеристики распада
1–1,5	0,9	$1p2n$	Sc-46	γ (83,79 сут)
	3,4	$1p1n$	Sc-47	γ (83,79 сут)
1,5–2	9,6	$1p1n$	Sc-47	γ (83,79 сут)
	11,9	$1p2n$	Sc-46	γ (83,79 сут)

Окончание таблицы

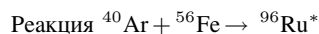
2–2,5	9,6	1p1n	Sc-47	γ (83,79 сут)
	30,2	1p2n	Sc-46	γ (83,79 сут)
2,5–3	2,1	1 α 2n	Ca-45	γ (163 сут)
	7,0	1p1n	Sc-47	γ (83,79 сут)
	47,5	1p2n	Sc-46	γ (83,79 сут)
3–3,5	1,8	4n	Ti-45	γ (3,08 ч)
	4,1	1p1n	Sc-47	γ (83,79 сут)
	2,8	1 α 2n	Ca-45	γ (163 сут)
	52,8	1p2n	Sc-46	γ (83,79 сут)



Энергия пучка ионов, МэВ/нуклон	Активность, МБк	Канал реакции	Образующиеся изотопы	Характеристики распада
2–2,5	1,2	3n	Cr-49	γ (42 мин)
2,5–3	2,7	3n	Cr-49	γ (42 мин)
3–3,5	0,7	1 α 3n	Ti-45	γ (3,08 ч)
	5,7	1p3n	V-48	γ (15,97 сут)
	3,3	3n	Cr-49	γ (42 мин)



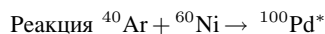
Энергия пучка ионов, МэВ/нуклон	Активность, МБк	Канал реакции	Образующиеся изотопы	Характеристики распада
2–2,5	2,0	2p1n	Cu-64	γ (12,7 ч)
	1,1	1p3n	Zn-63	γ (38,1 мин)
	0,9	1 α 2n	Cu-61	γ (3,4 ч)
2,5–3	1,6	2p1n	Cu-64	γ (12,7 ч)
	1,6	1p3n	Zn-63	γ (38,1 мин)
	2,6	1 α 2n	Cu-61	γ (3,4 ч)
	0,2	1 α 3n	Cu-60	γ (23 мин)
3–3,5	1,3	1p3n	Zn-63	γ (38,1 мин)
	1,1	1 α 2n	Cu-61	γ (3,4 ч)
	0,5	1 α 2p1n	Co-60	γ (5,3 г)
	0,4	1 α 3n	Cu-60	γ (23 мин)



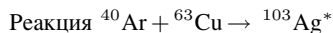
Энергия пучка ионов, МэВ/нуклон	Активность, МБк	Канал реакции	Образующиеся изотопы	Характеристики распада
2,5–3	0,8	1p2n	Tc-93	γ (2,7 ч)
	0,9	1 α 1p1n	Nb-90	γ (14,6 ч)
	1,9	3p1n	Nb-92	γ ($3,6 \cdot 10^7$ лет)

Окончание таблицы

3–3,5	1,7	1p2n	Tc-93	γ (2,7 ч)
	1,0	1 α 1p1n	Nb-90	γ (14,6 ч)
	1,1	3p1n	Nb-92	γ ($3,6 \cdot 10^7$ лет)
	1,0	1 α 2p1n	Zr-89	γ (78,4 ч)
	0,5	1 α 1p2n	Nb-89	γ (2 ч)
	0,1	2p3n	Mo-91	γ (15,6 мин)

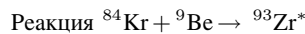


Энергия пучка ионов, МэВ/нуклон	Активность, МБк	Канал реакции	Образующиеся изотопы	Характеристики распада
2,5–3	3,0	2p1n	Ru-97	γ (2,7 сут)
	0,7	1p2n	Rh-97	γ (31 мин)
	1,2	3p1n	Tc-96	γ (4,3 сут)
	0,7	1 α 1p1n	Tc-94	γ (4,9 ч)
	0,6	1 α 1p2n	Tc-93	γ (2,7 ч)
3–3,5	3,4	2p1n	Ru-97	γ (2,9 сут)
	0,8	1p2n	Rh-97	γ (31 мин)
	1,7	3p1n	Tc-96	γ (4,3 сут)
	0,8	1 α 1p1n	Tc-94	γ (4,9 ч)
	1,0	1 α 1p2n	Tc-93	γ (2,7 ч)
	1,6	2p3n	Ru-95	γ (1,65 ч)
	0,16	3p2n	Tc-95	γ (20 ч)

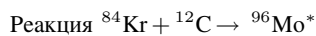


Энергия пучка ионов, МэВ/нуклон	Активность, МБк	Канал реакции	Образующиеся изотопы	Характеристики распада
2,5–3	3,7	2p2n	Rh-99	γ (16 сут)
	2,9	2p1n	Rh-100	γ (20,8 ч)
	14	1p2n	Pd-100	γ (3,7 сут)
	0,3	1p3n	Pd-99	γ (21,4 мин)
	0,8	1 α 1p1n	Ru-97	γ (2,9 сут)
3–3,5	4,3	2p2n	Rh-99	γ (16 сут)
	3,3	2p1n	Rh-100	γ (20,8 ч)
	1,6	1p2n	Pd-100	γ (3,7 сут)
	0,3	1p3n	Pd-99	γ (21,4 мин)
	0,9	1 α 1p1n	Ru-97	γ (2,9 сут)
	0,9	1 α 2p1n	Tc-96	γ (4,3 сут)

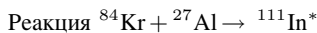
Реакции под действием налетающих ионов криптона



Энергия пучка ионов, МэВ/нуклон	Активность, МБк	Канал реакции	Образующиеся изотопы	Характеристики распада
2–2,5	1,7	$1p2n$	Y-90	γ (64,1 ч)
2,5–3	6,5	$1p2n$	Y-90	γ (64,1 ч)
	2,0	$4n$	Zr-89	γ (78,4 ч)
3–3,5	13,2	$1p2n$	Y-90	γ (64,1 ч)
	15,8	$4n$	Zr-89	γ (78,4 ч)

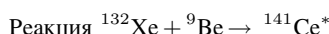


Энергия пучка ионов, МэВ/нуклон	Активность, МБк	Канал реакции	Образующиеся изотопы	Характеристики распада
2,5–3	0,7	$1p1n$	Nb-94	γ ($2 \cdot 10^4$ лет)
3–3,5	1,5	$1p1n$	Nb-94	γ ($2 \cdot 10^4$ лет)

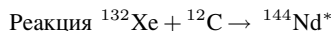


Энергия пучка ионов, МэВ/нуклон	Активность, МБк	Канал реакции	Образующиеся изотопы	Характеристики распада
2,5–3	1,8	$1p3n$	Cd-107	γ (6,5 ч)
3–3,5	7,3	$1p3n$	Cd-107	γ (6,5 ч)
	1,1	$1\alpha 3n$	Ag-104	γ (69,2 мин)
	0,9	$1\alpha 2n$	Ag-105	γ (41,29 сут)

Реакции под действием налетающих ионов ксенона



Энергия пучка ионов, МэВ/нуклон	Активность, МБк	Канал реакции	Образующиеся изотопы	Характеристики распада
3–3,5	1,9	$4n$	Ce-137	γ (9 ч)



Энергия пучка ионов, МэВ/нуклон	Активность, МБк	Канал реакции	Образующиеся изотопы	Характеристики распада
3–3,5	0,3	$3n$	Nd-141	γ (2,5 ч)

ЛИТЕРАТУРА

1. ADNDT. 1980. V. 25, No. 5/6. P. 389–619.
2. *Bass R.* Nuclear Reactions with Heavy Ions. Berlin; Heidelberg; N. Y.: Springer-Verlag, 1980.
3. *Moeller P. et al.* // ADNDT. 1995. V. 59. P. 185–381.
4. nrv.jinr.ru
5. *Satkowiak L. J. et al.* // Phys. Rev. C. 1982. V. 26. P. 2027.
6. *Nguyen Van Sen et al.* // Phys. Rev. C. 1983. V. 27. P. 194.
7. www.srim.org
8. *Темерев Ю.Г.* Частное сообщение ЛЯР ОИЯИ. 2011.
9. *Sunil C. et al.* // Nucl. Instr. Meth. A. 2004. V. 534. P. 518.

Получено 21 ноября 2011 г.

Редактор *A. И. Петровская*

Подписано в печать 30.12.2011.

Формат 60 × 90/16. Бумага офсетная. Печать офсетная.
Усл. печ. л. 3,31. Уч.-изд. л. 4,1. Тираж 230 экз. Заказ № 57550.

Издательский отдел Объединенного института ядерных исследований
141980, г. Дубна, Московская обл., ул. Жолио-Кюри, 6.

E-mail: publish@jinr.ru
www.jinr.ru/publish/